

Seismic Evaluation of Steel Frames with Dual Linked-Column- Frame under Successive Earthquakes*

Research Article

Farzaneh Tafreshi¹, Elham Rajabi² , and Yaser Golestani³DOI: [10.22067/jfcej.2025.90190.1324](https://doi.org/10.22067/jfcej.2025.90190.1324)

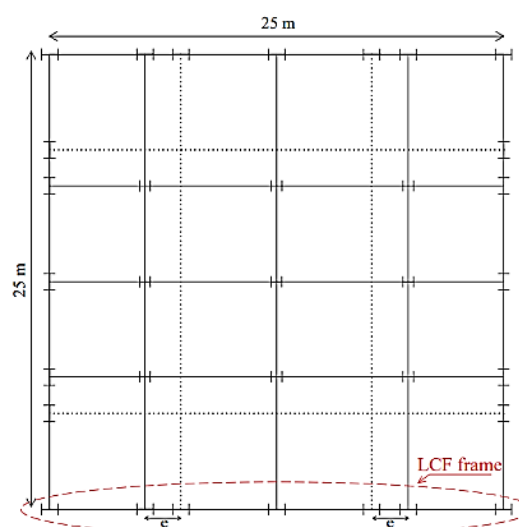
1- Introduction

Earthquakes are known as one of the most significant causes of structural damage. Since Iran is located in the high seismic belt, numerous major faults can lead to current severe earthquakes. In these zones, buildings are often subjected to successive earthquakes and substantial damage. This phenomenon typically occurs in short time intervals. Due to the limited time for repair and restoration, damages will be accumulated and casualties are more severe than single earthquakes. Although the seismic design codes primarily focus on main-shock events for "design earthquake", the performance of structures under successive earthquakes needs more comprehensive examinations. Because the caused damage by consecutive shocks is significantly greater than that caused by single earthquakes. Consequently, considering the effects of this destructive phenomenon in structural design and construction seems necessary. Steel structures are widely used system in the construction industry, and known as the key systems in managing earthquake-induced damage. To mitigate these damages, a novel dual lateral-load-resisting system known as the Linked Column Frame (LCF) has been introduced. This system consists of parallel columns connected by link beams, which play as structural fuses, dissipating the seismic energy absorbed by the structure. The LCF system's simplicity in construction, installation, and replaceable link beams make it economically option among engineering for building projects.

2- Research Methodology

In this study, after a comprehensive review in previous researches and design methods based on force and performance, four structural models consist of 3 and 6-story buildings equipped by dual span of linked column frames with flexural and shear link beams were designed and implemented in the OpenSees software according to

Fig. 1. In this regard, fiber elements were used for simulation of the nonlinear behavior, dividing member cross-sections into segments to accurately model material behavior. Mechanical properties of columns were defined using *Steel02* model, while link beams were designed with hysteretic materials to involve both flexural and shear behaviors under cyclic loading. As-recorded ground motions were used for nonlinear dynamic analysis under successive earthquakes because artificial simulations such as "back-to-back" and "random" often have less sufficient accuracy. Effective peak acceleration (EPA) was selected as the most reliable parameter for selection of the ground motions because Peak Ground Acceleration (PGA) is not always a suitable criterion. Sixteen successive earthquake records were selected from the PEER database and used in this study. A 30-second time gap between two shocks in each scenario was assumed based on previous researches.



* Manuscript received October 9, 2024, Revised December 8, 2024, accepted March 3, 2025.

¹ MSc. Student, Qualitative and Quantitative Analysis of Fluids and Environmental Research Group, Department of Civil Engineering, Tafresh University, Tafresh, Iran. **Email:** f.tafreshi1999@gmail.com

² Corresponding author. Assistant Professor, Qualitative and Quantitative Analysis of Fluids and Environmental Research Group, Department of Civil Engineering, Tafresh University, Tafresh, Iran. **Email:** rajabi@tafreshu.ac.ir

³ PhD Student, Department of Civil Engineering, Zanzan University, Zanzan, Iran, **Email:** yaser.golestani02@yahoo.com

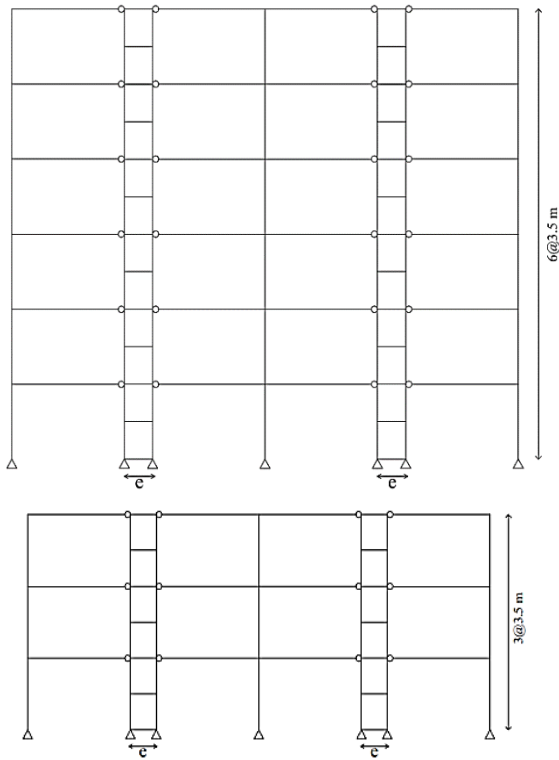


Fig. 1. Plan and schematic view of the studied models

First shocks were scaled according to *Standard 2800* seismic code, while the second shocks were scaled using a new spectrum based on prior studies.

3- Nonlinear Dynamic Analysis

After verification of the studied models in two steps consist of comparison of (1) period and (2) pushover curve in Fig. 2, nonlinear dynamic analysis was performed under single and successive shocks and some parameters including roof

and story drifts, base shear, and residual displacements were calculated and compared for single and successive cases. For a more comprehensive assessment, the Park and Ang damage index (1985) was selected as the primary parameter to evaluate seismic damage for seismic scenarios with/without sequence (Fig. 3):

$$DI = \frac{\delta_M}{\delta_u} + \frac{\beta}{Q_y \delta_u} \int dE \quad (1)$$

The results revealed that seismic sequence phenomenon has more destructive effects than single earthquakes, particularly for 3-story LCF frame with flexure link beams (Fig.3), which demonstrated superior performance in energy absorption and damage reduction. Maximum story drifts and damage indices were mostly concentrated in the lower stories and decreased with increasing height. The results also showed that the residual displacement due to seismic sequences in 3-story frames was less than 6-story frames (Fig. 4). Moreover, inter-story drifts caused by successive shocks were up to 3% higher than single earthquakes, especially in the lower stories. Base shear forces increased by up to 26%, indicating the impact of successive earthquakes on lateral loads. Generally, shear link beams have better performance than flexural link beams in structural damage reduction because of more stiffness and higher energy absorption capacity.

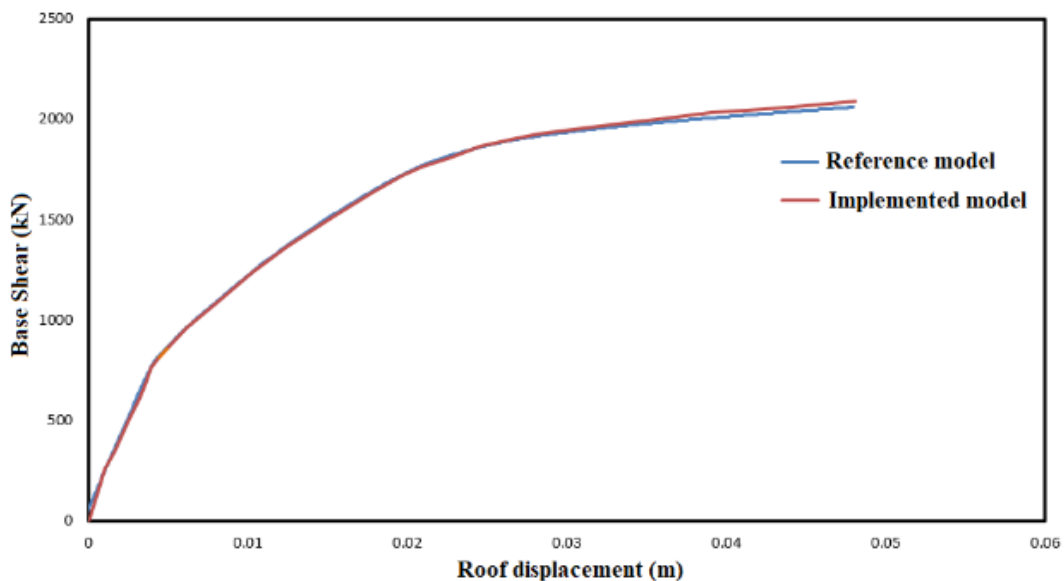


Fig. 2. Push-over curves for reference and implemented model

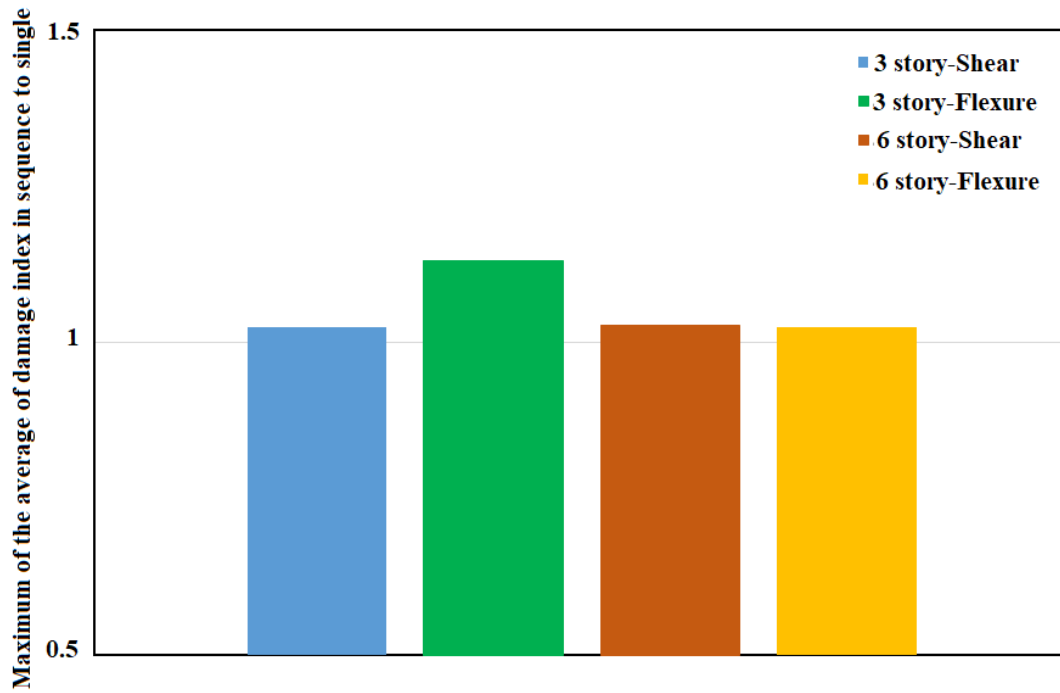


Fig. 3. Maximum of the average of $DI_{Sequence/Single}$

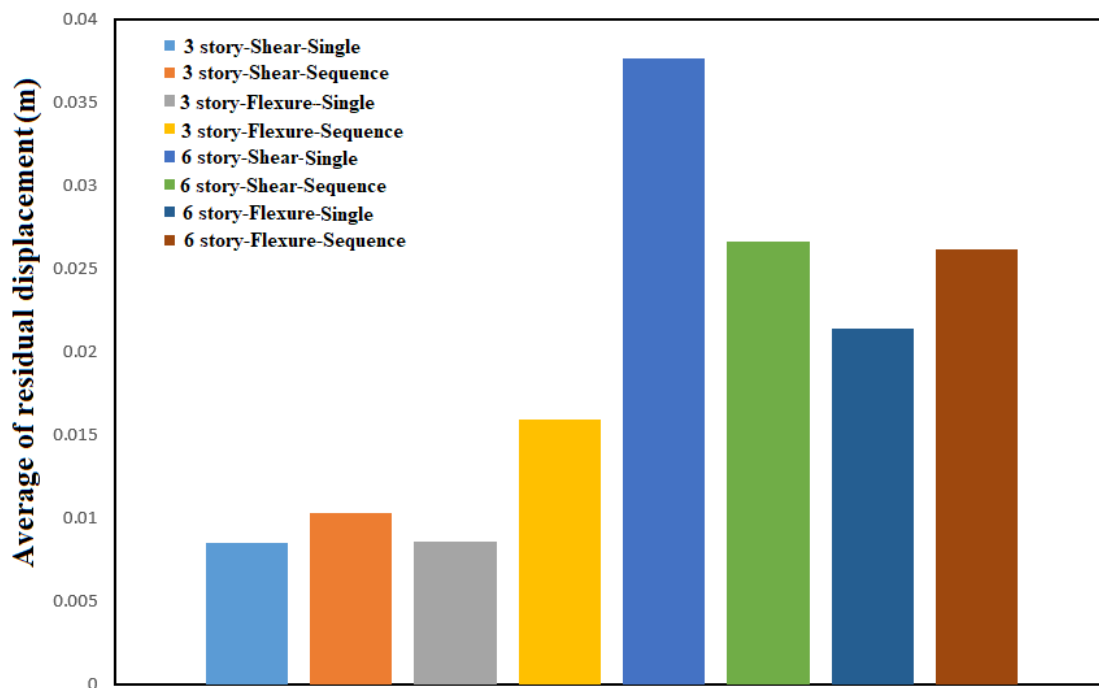


Fig. 4. Average of residual displacement under single and successive shocks

4- Results

The findings of this paper suggest that shear link beams are a more effective choice in severe seismic conditions, such as successive earthquakes. Since the appropriate performance of LCF system in reducing the structural damages caused by successive earthquakes (especially in high-rise buildings), it can be considered as a suitable

option for designing structures in seismic active zones. Also, shear link beams have a crucial role in minimizing the structural damage because they efficiently absorb seismic energy and prevent damage from propagating to other parts of the structure. Therefore, considering this system in the design of structures can significantly enhance structural safety and durability. The LCF system not only prevents severe damages from successive

earthquakes but also improves the structure's overall seismic performance, extends its lifespan, and reduces maintenance costs. Moreover, implementing this system in seismic-active zones can prevent the total collapse of structures and provide more safety for occupants during successive earthquakes. Some of the results are summarized as follows:

- Relative floor displacements under successive earthquakes are 2 to 3 percent greater than single case.
 - The damage index caused by successive earthquakes for LCF frames with flexural linked beam is about 38% more than LCF models with shear linked beam.
 - Generally, consecutive earthquakes have 2 to 38 percent more destructive effects on structures than single earthquakes. Six-story models with flexural performance are more affected by consecutive earthquakes than others.
-



ارزیابی عملکرد لرزه‌ای قاب‌های فولادی حاوی سیستم قاب-ستون-پیوند دوگانه تحت زمین لرزه‌های متوالی*

مقاله پژوهشی

یاسر گلستانی^(۳)

الهام رجبی^(۲*)

فرزانه تفرشی^(۱)

DOI: 10.22067/jfeci.2025.90190.1324

چکیده زلزله‌های متوالی به دلیل وقوع در فاصله زمانی کوتاه، باعث تجمع آسیب‌های لرزه‌ای در سازه‌ها می‌شوند. اخیراً در راستای مدیریت و کاهش آسیب‌های موجود به سازه، سیستم نوین برابر لرزه‌ای دوگانه سیستم قاب-ستون-پیوند (LCF) معرفی شده‌است. در این مقاله چهار قاب فولادی مجهز به LCF حاوی تیرهای پیوند با رفتار برشی و خمشی طراحی و در نرم‌افزار اپنسیس پیاده‌سازی شده‌است. پس از انجام تحلیل‌های دینامیکی غیرخطی در دو حالت زلزله‌های با و بدون توالی لرزه‌ای، پارامترهایی نظیر جابه‌جایی‌های نسبی طبقات و بام، نیروی برش پایه و شاخص خسارت پارک-انگ استخراج شده‌است. نتایج نشان می‌دهد زلزله‌های متوالی به نسبت منفرد آسیب لرزه‌ای بیشتری به سازه‌ها وارد نموده و قاب‌ها با رفتار برشی تیر پیوند بهترین عملکرد را دارند.

واژه‌های کلیدی سیستم قاب-ستون-پیوند دوگانه، پدیده توالی لرزه‌ای، تحلیل دینامیکی غیرخطی، فیوز سازه‌ای، شاخص خسارت.

Seismic Evaluation of Steel Frames with Dual Linked-Column- Frame under Successive Earthquakes

Farzaneh Tafreshi

Elham Rajabi

Yaser Golestani³

Abstract Since successive shocks occur with short time interval, damage will accumulate in the structures. Recently, linked column frame system (LCF) as a new dual lateral-resisting system, has been introduced in order to manage and reduce the structural damage. In this paper, 4 steel frames equipped by dual LCF and shear/flexure link beams were designed and implemented in Opensees. After nonlinear static and dynamic analysis for single and consecutive earthquakes, parameters such as displacements of the roof and stories, base shear and Park-Ang damage index were investigated. The results showed that successive earthquakes cause more seismic damage to structures than single ones and the frames with the shear link beams have better performance.

Key Words Dual Linked-Column-Frame system, Seismic sequence phenomenon, Nonlinear dynamic analysis, Structural fuse, Damage index.

* تاریخ دریافت مقاله ۱۴۰۳/۷/۱۸ و تاریخ پذیرش آن ۱۴۰۳/۱۲/۱۳ می‌باشد.

(۱) دانشجوی کارشناسی ارشد، گروه پژوهشی تحلیل کمی و کیفی سیالات و محیط زیست، دانشکده مهندسی عمران، دانشگاه تفرش، تفرش، ایران.

(۲) نویسنده مسئول: استادیار، گروه پژوهشی تحلیل کمی و کیفی سیالات و محیط زیست، دانشکده مهندسی عمران، دانشگاه تفرش، تفرش، ایران

Email: rajabi@tafreshu.ac.ir

(۳) دانشجوی دکتری، دانشکده مهندسی عمران، دانشگاه زنجان، زنجان، ایران

مقدمه

توجه به این پدیده در آیین‌نامه‌های زلزله ایران، نیاز به پژوهش‌های بیشتری در این زمینه احساس می‌شود. سازه‌های فولادی از مهم‌ترین سیستم‌های مورد مطالعه در مهندسی زلزله هستند. در سیستم‌های باربر مقاوم لرزه‌ای مانند قاب خمشی و مهاربندی‌شده، اعضای سازه‌ای به بدنه اصلی متصل‌اند و تحمل بارهای جانبی را بر عهده دارند. بازگشت به حالت سرویس‌دهی پس از آسیب، به‌ویژه زمانی که تعداد اعضای آسیب‌دیده زیاد باشد، فرآیندی دشوار و پرهزینه است. به همین دلیل، محققان در چند دهه اخیر سیستم‌هایی را پیشنهاد داده‌اند که تنها یک عضو خاص در هنگام زلزله نیاز به تعمیر دارد و به سرعت می‌توان به حالت سرویس‌دهی بازگشت و سیستم قاب ستون پیوند (Linked-Column-Frame) (LCF) یکی از این راهکارهاست [7]. اخیراً یکی از سیستم‌های نوین، قاب ستون پیوند است که به‌عنوان یک سیستم باربر جانبی دوگانه معرفی شده‌است. این سیستم شامل دو ستون موازی و تیرهای پیوند قابل تعویض است که به‌عنوان یک فیوزسازه‌ای عمل می‌کنند و انرژی لرزه‌ای را به‌طور غیرکشسان جذب و از انتقال آن به سایر اعضای سازه جلوگیری می‌کنند تا آسیب به سازه کاهش یابد. از طرفی تعویض آسان فیوز سازه‌ای، ساخت و نصب آن را اقتصادی و مقرون‌به‌صرفه می‌کند [8]. ایده ساخت قاب ستون پیوند ابتدا در پژوهشی توسط نادر و همکاران [9] در سال ۲۰۰۰ برای طراحی پل سن‌فرانسیسکو اوکلند مطرح شد. در این تحقیق، از تیرهای پیوند برشی قابل تعویض برای جلوگیری از فروریزش در زلزله‌های شدید استفاده شد. اولین تحقیقات بر روی سیستم قاب ستون پیوند توسط دوسیکا و ایوای [10] در سال ۲۰۰۷ انجام شد. آنها بر روی قاب ستون پیوند فولادی مطالعه کردند تا قابی طراحی کنند که بتواند از فروریزش در زلزله جلوگیری و به سرعت به حالت بهره‌برداری بازگردد. شرایط تکیه‌گاهی ستون‌ها بر ظرفیت و برش پایه تأثیر می‌گذارد. طراحی سیستم باعث می‌شود که ستون‌های متصل به حالت مفصلی و تیر اضافه، از تسلیم شدن ستون‌های دارای بار تقلی جلوگیری کنند.

همچنین در سال ۲۰۱۰، دوسیکا و لوییس [11] به بررسی استفاده از اتصالات پیچ و مهره در تیر پیوند پرداختند تا خرابی نامطلوب در اتصالات را به حداقل برسانند. یکی از نگرانی‌ها نوع اتصالات است که باید نصب و حذف آن آسان باشد و در

زمین‌لرزه یکی از مخرب‌ترین پدیده‌های طبیعی است که در مناطق دارای گسل‌های بزرگ رخ می‌دهد. این گسل‌ها معمولاً با اولین گسیختگی همه تنش‌های موجود را تخلیه نمی‌کنند و در نتیجه لرزه‌های متوالی ایجاد می‌شوند. گسیختگی‌های پی‌درپی در امتداد گسل‌ها باعث وقوع لرزه‌های مختلف می‌شوند که تشخیص آن‌ها به‌عنوان لرزه اصلی و پس‌لرزه گاهی چالش‌برانگیز است [1]. پدیده توالی لرزه‌ای به رخداد زمین‌لرزه‌هایی اطلاق می‌شود که در فاصله زمانی کوتاهی مانند دقایق تا هفته‌ها در یک منطقه مشخص رخ می‌دهند. این زمین‌لرزه‌ها می‌توانند از پیش‌لرزه، زمین‌لرزه اصلی و پس‌لرزه‌ها تشکیل شوند، که زلزله‌های متوالی پتانسیل تضعیف سازه‌های آسیب‌دیده را دارند و می‌توانند خسارات اقتصادی و تهدیدات جانی را افزایش دهند. همچنین با وجود فرصت محدود بین لرزه‌ها، اقدامات تعمیر یا بازسازی پس از لرزه اصلی معقول نیست و طراحی سازه‌های مهم باید با توجه به زلزله‌های متوالی ایمن‌تر شوند [2]. در آیین‌نامه‌های طراحی ایران، مانند استاندارد ۲۸۰۰، تمرکز بیشتر بر زلزله‌های منفرد بوده و بررسی جامع پدیده توالی لرزه‌ای کمتر مورد توجه قرار گرفته است. این در حالی است که خسارت‌های ناشی از پس‌لرزه‌ها معمولاً بیشتر از زلزله‌های منفرد است [3]. در ششم فوریه سال ۲۰۲۳، دو زمین‌لرزه متوالی با بزرگای $7/8$ و $7/6$ ریشتر جنوب شرقی ترکیه را لرزاندند که از قوی‌ترین زلزله‌های ۸۰ سال اخیر این کشور بودند. این زلزله‌ها در ۱۱ استان موجب کشته شدن بیش از ۴۱۰۲۰ نفر، آوارگی $1/2$ میلیون نفر، تخریب ۱۰۵۰۰۰ ساختمان و خسارت مالی حدود $32/2$ میلیارد دلار شدند [4]. در ۲۵ آوریل سال ۲۰۱۵، زلزله‌ای به بزرگای $7/8$ ریشتر در نپال رخ داد و پس از آن هزاران پس‌لرزه، از جمله بزرگ‌ترین آنها با بزرگای $7/3$ و $6/3$ ، ثبت شد. این حادثه منجر به کشته شدن ۹۰۰۰ نفر، زخمی شدن ۲۳۰۰۰ نفر و ویرانی ۵۰۰۰۰۰ خانه شد [5]. نمونه دیگر مربوط به زلزله بزرگ سرپل ذهاب در استان کرمانشاه ایران است که در ۱۲ نوامبر ۲۰۱۷ با بزرگای $7/3$ رخ داد و پس از آن دو پس‌لرزه بزرگ با بزرگای $5/9$ و $6/3$ ثبت شد. این زمین‌لرزه‌ها باعث مرگ ۴۳۰ نفر و زخمی شدن ۷۴۶۰ نفر شدند [6]. بنابراین به‌دلیل اهمیت پدیده توالی‌لرزه‌ای و اثرات جبران‌ناپذیر آن بر سازه‌ها در زلزله‌های گذشته و عدم

محب‌خواه و تذرو در سال ۲۰۲۱ به بررسی پارامتر میرایی ویسکوز معادل (EVD) در روش طراحی عملکردی تغییرمکان مستقیم برای سازه‌های قاب ستون‌پیوند پرداختند. آن‌ها با کمک تحلیل غیرخطی دینامیکی و بررسی پاسخ حلقه‌های هیستریک نشان دادند که میرایی ویسکوز به طول تیرهای پیوند و سطوح شکل‌پذیری وابسته است و با افزایش طول نسبی پیوندها، مقدار آن کاهش می‌یابد [19]. قله‌کی و همکاران [20] قاب‌های ستون‌پیوند را تحت زمین‌لرزه‌های حوزه نزدیک و دور بررسی کردند و به این نتیجه رسیدند که بیشینه تغییرمکان در نیمه بالایی قاب‌ها و با افزایش تعداد طبقات افزایش پیدا می‌کند و جابه‌جایی نسبی میان طبقاتی در زمین‌لرزه‌های حوزه نزدیک کمتر از مقادیر روش‌های پیشنهادی ملکوتیان و شعیبی است و طراحی این قاب‌ها مانع تشکیل طبقات نرم می‌شود. گلستانی و همکاران [21] به ارزیابی ضریب اصلاح پاسخ سازه‌های فلزی ستون‌پیوندشده تحت زلزله‌های حوزه دور پرداخته و نتایج نشان داد که میانگین ضریب رفتار با افزایش طول تیرهای پیوند کاهش می‌یابد و ضریب اصلاح پاسخ پیشنهادی برای این سیستم بین ۴ تا ۶/۵ است. همچنین جابه‌جایی بین طبقاتی برابر با ۲ تا ۲/۵ درصد برآورد شده است. در پژوهش دیگر توسط رجیبی و گلستانی [22] قاب‌های ستون پیوند تحت زمین‌لرزه‌های متوالی بررسی شده و با استفاده از هوش مصنوعی، ضریب رفتار محاسبه گردیده و با توجه به نتایج، توالی لرزه‌ای موجب کاهش ۲۶ درصدی این ضریب نسبت به حالت منفرد می‌شود و ضریب رفتار با افزایش طول تیرهای پیوند برشی و خمشی کاهش می‌یابد. همچنین، تیرهای پیوند کوتاه‌تر در حالت برشی عملکرد بهتری دارند و پیشنهاد می‌شود که مقدار ضریب رفتار بیشتر از ۶ در نظر گرفته نشود. معروفی و همکاران [23] عملکرد لرزه‌ای قاب‌های ستون‌پیوند با آرایش دوتایی تحت شرایط تکیه‌گاهی و حرکات رفت و برگشتی بررسی کرده‌اند. نتایج نمایانگر آن است که خسارت احتمالی در سیستم قاب ستون پیوند ۵۵ درصد کمتر از سیستم قاب خمشی است. جابری [24] روشی جدید برای طراحی لرزه‌ای قاب ستون پیوند بر پایه فروپاشی سازه ارائه کرده که با تحلیل دینامیکی غیرخطی تا لحظه ریزش، رفتار پلاستیکی را دقیقاً

برابر برش و تقاضای خمشی مقاومت کند. ملکوتیان و همکاران [12] از کسانی بودند که با استفاده از روش طراحی مبتنی بر نیرو در سال ۲۰۱۳، سازه‌های فولادی را تحت تحلیل‌های دینامیکی غیرخطی قرار دادند و دریافتند که طراحی ستون‌ها بر اساس ظرفیت تیرهای پیوند از تشکیل مفصل پلاستیک در ستون جلوگیری می‌کند. نتایج نشان می‌دهد که این سیستم توانایی محدود کردن توسعه مفاصل پلاستیک در پیوندها را دارد. پیشنهادات آنها برای پارامترهای طراحی لرزه‌ای شامل ضریب رفتار (R)، ضریب بزرگنمایی (C_d) و ضریب اضافه مقاومت (Ω_0) به ترتیب برابر ۸، ۵/۵ و ۳ می‌باشد [13]. همچنین ملکوتیان و همکاران [14] به بررسی مقادیر برش پایه، بیشینه نیرو هنگام تسلیم و برش الاستیک پرداختند و نشان دادند که نسبت شتاب طیفی میانگین متناظر با زلزله حداکثر برابر با ۱/۵ برابر ضریب رفتار است. شعیبی و همکاران [15]، یک روش طراحی پارامتریک مبتنی بر عملکرد را برای این قاب ارائه دادند. این روش با جدا کردن قاب ستون پیوند به سیستم‌های مجزا، به اندرکنش بین دو قاب و اثرات متقابل آن‌ها پرداخته است. تحلیل‌های غیرخطی قاب‌ها در سه سطح عملکرد لرزه‌ای قابلیت استفاده بی‌وقفه، تعمیرپذیری سریع و آستانه فروریزش نشان دادند که تنها تیرهای پیوند تسلیم می‌شوند و سایر اعضای سازه به صورت الاستیک باقی می‌مانند. این رویکرد باعث افزایش کارایی و سرعت همگرایی سازه‌ها می‌شود.

در مطالعه دیگر از شعیبی و همکاران [16] با روش طراحی مبتنی بر نیرو برای بررسی عملکرد قاب‌های ستون پیوند نشان داد که در زلزله‌های با احتمال ۵۰ درصد فراگذشت در ۵۰ سال، خسارت در قاب‌های خمشی ناچیز و جابجایی‌ها کمتر از مقدارهدف بوده است. تذرو و همکاران در سال ۲۰۲۱ با استفاده از روش طراحی مبتنی بر جابه‌جایی مستقیم شده (DDBD) به ارزیابی رفتاری قاب ستون پیوند پرداخته‌اند. که در این مطالعه، سازه‌ها تحت تحلیل دینامیکی غیرخطی نشان دادند که رانش توسعه‌یافته در طبقات کمتر از مقدار طراحی شده است، که موفقیت این روش را تأیید می‌کند. این پژوهش نیز نشان داد که هیچ تسلیمی در تیرهای خمشی رخ نداد و ضریب استحکام تیرپیوندها بیش از ۱/۲۵ می‌باشد [17,18].

بگیرند. زیرا علیرغم پتانسیل بالای خسارت‌زایی لرزه‌های متوالی، هنوز زلزله طراحی به صورت منفرد در آیین‌نامه‌های لرزه‌ای پیشنهاد می‌گردد. در این راستا چهار قاب فولادی مجهز به LCF حاوی تیرهای پیوند با رفتار برشی و خمشی طراحی و در نرم‌افزار اپنسیس پیاده‌سازی شده‌است. پس از انجام تحلیل‌های دینامیکی غیرخطی در دو حالت زلزله‌های با و بدون توالی لرزه‌ای، پارامترهایی نظیر جابه‌جایی‌های نسبی طبقات و بام، نیروی برش پایه و شاخص خسارت پارک-انگ استخراج شده‌است.

روش تحقیق

مدل‌های مورد مطالعه

در این مطالعه، ۴ قاب فولادی مجهز به سیستم قاب-ستون-پیوند با آرایش دودخانه برای کاربری مسکونی با تعداد طبقات ۳ و ۶ که نشان‌دهنده سازه‌هایی با ارتفاع کوتاه، متوسط هستند، در پلان ۲۵ در ۲۵ متر با طول دهانه تیر پیوند ۲ متر و ارتفاع طبقات ۳/۵ متر در شهر تهران با شدت لرزه‌خیزی بسیار زیاد و خاک نوع ۲ در نرم‌افزار ایتبس برای دو رفتار عملکرد برشی و خمشی تیر پیوند به روش تحلیل استاتیکی معادل طراحی شده‌اند. شکل (۱) پلان و نمای قاب‌های مورد مطالعه را برای هر سازه نمایش می‌دهد. مصالح مورد استفاده در این سازه‌ها طبق مبحث ۱۰ مقررات ملی ساختمان از نوع فولاد A992 می‌باشد. تنش تسلیم فولاد، تنش کشش نهایی و مدول الاستیسیته به ترتیب برابر با ۳۵۱۸/۰۲، ۴۵۸۸/۷۲ و ۲۰۷*۱۰^۶ کیلوگرم بر سانتی‌مترمربع و ضریب پواسون برابر با ۰/۳ در نظر گرفته شده‌است. همانطور که در شکل (۱) مشخص است، دو دهانه تیر پیوند که شامل ستون و تیرهای پیوند طبقه و میان طبقه است، با اتصال مفصلی به قاب خمشی متصل هستند و همچنین اتصال ستون با پی به صورت مفصل تعریف شده است. در اتصالات تیرهای پیوند با ستون‌های متصل به خود و قاب خمشی اتصال گیردار تعیین شده است. اصول و ضوابطی که برای تیرهای پیوند در این نوع سازه استفاده شده‌است، همانند تیرهای پیوند در قاب مهاربند واگرا (EBF)، می‌باشد و طبق بند ۱۰-۳-۴-۳-۴ مبحث ۱۰ مقررات ملی ساختمان ویرایش ۱۴۰۱ تحلیل و طراحی شده‌اند. در حالت کلی تیرهای پیوند دارای سه حالت عملکردی برشی، خمشی و ترکیبی از برش و خمش می‌باشند. در این مطالعه، برای کلیه سازه‌های

مدل‌سازی می‌کند. این رویکرد پیچیدگی‌های تحلیل‌های لرزه‌ای را کاهش داده و امکان ارزیابی شتاب طیفی و زمان حرکت زمین را به طور جامع فراهم می‌کند. همچنین، این روش شبیه‌سازی‌های پیشرفته‌ای مانند تحلیل IDA ممکن می‌سازد و بهبودهای قابل توجهی در عملکرد لرزه‌ای سازه به همراه دارد. لی و همکاران [25] برای بهبود عملکرد لرزه‌ای سیستم LCF و بهینه‌سازی مفاصل پلاستیکی از یک پایه ستون در قاب فولادی مهاربندی‌شده متصل به فنر استفاده کرده‌اند. با تحلیل عددی و استفاده از اصل کار مجازی، عملکرد پسماند سیستم، تغییرشکل‌های برشی تیرهای پیوند و جانی قاب بررسی شده است. نتایج نشان می‌دهد که آزادسازی مهار عمودی ستون‌ها باعث بهبود ظرفیت اتلاف انرژی و ایجاد رفتار غیرارتجاعی در تیرهای پیوند می‌شود. استفاده از فنرها در پای ستون موجب بهبود عملکرد چرخه‌ای سیستم قاب ستون پیوند شده است. از دیگر مطالعات در سال ۲۰۲۳، مونتیوری و همکاران [26] به تحلیل رفتار لرزه‌ای قاب‌های ستون پیوند بر اساس تئوری کنترل مکانیزم پلاستیکی (TPMC) پرداخته‌اند. در این روش، سازه‌ها طوری مدل‌سازی می‌شوند که مفاصل پلاستیکی در مکان‌های مشخص و بهینه توزیع شوند تا در نهایت حداکثر انرژی لرزه‌ای جذب و به اتلاف انرژی منجر شود. این فرآیند کمک می‌کند تا سازه‌ها به‌طور مؤثری در برابر زلزله مقاومت کنند و آسیب کمتری به اعضای غیرپلاستیک وارد شود. نتایج نشان داد که تیرهای پیوند کوتاه عملکرد بهتری دارند. همچنین، تحلیل بار افزون کارایی TPMC را در توزیع مفصل پلاستیکی و هماهنگی با منحنی تعادل مکانیزم به طور مؤثری بهبود می‌دهد. تحقیقات انجام‌شده در زمینه سیستم‌های قاب ستون پیوند به وضوح اهمیت و ضرورت این موضوع را برای ادامه پژوهش‌ها نمایان می‌کند. این سیستم‌ها به دلیل قابلیت‌های منحصر به فرد در بهبود عملکرد لرزه‌ای و کاهش خسارات ناشی از زلزله، در کانون توجه محققین می‌باشد. چرا که با بررسی تأثیرات مختلف بر روی این سیستم‌ها، می‌توان به نتایج ارزشمندی دست یافت که نشان‌دهنده کارایی بالای آنها در مقایسه با سیستم‌های قبلی است. اهمیت این موضوع زمانی دو چندان می‌شود که سازه‌ها در معرض زلزله‌های متوالی قرار

کنترل‌های مورد نیاز پس از تحلیل قاب‌ها، کنترل میزان تغییرمکان جابه‌جایی نسبی طبقات است که طبق بند (۵-۳) استاندارد ۲۸۰۰ مطابق با روابط (۷) و (۸) برای دو حالت قاب با تعداد طبقات کمتر و بیشتر از ۵ طبقه صورت گرفته است. مقدار ضریب بزرگنمایی (C_d) در این قاب‌ها برابر ۵/۵ می‌باشد.

برای قاب‌های ۳ طبقه:

$$\text{Drift} \leq \frac{0.025}{C_d} = \frac{0.025}{5.5} \quad (7)$$

برای قاب‌های ۶ طبقه

$$\text{Drift} \leq \frac{0.020}{C_d} = \frac{0.020}{5.5} \quad (8)$$

تغییرمکان جابه‌جایی نسبی (Drift) بدست آمده در هر طبقه، کمتر از مقادیر تعیین شده می‌باشد.

در شکل (۲) تصویری از قاب ۳ طبقه حاوی تیر پیوند برشی در حالت کنترل تنش به همراه نسبت مقاومت حاصله از طراحی در محیط نرم افزار ایتبس نشان داده شده است.

نحوه مدل‌سازی و اعتبارسنجی

قاب‌ها پس از طراحی اولیه و کنترل‌های موردنیز، در نرم‌افزار اپنسیس پیاده‌سازی شده‌اند. نرم‌افزار اپنسیس، یک شبیه‌ساز رایانه‌ای قدرتمند در مهندسی زلزله است که از روش المان محدود و تحلیل‌های پیچیده غیرخطی بهره می‌برد. این نرم‌افزار که رایگان و متن‌باز است، امکان مدل‌سازی دقیق سازه‌ها و تحلیل رفتار لرزه‌ای آنها را فراهم می‌کند. روش مورد استفاده برای مدل‌سازی غیرخطی قاب‌ها در این مطالعه، روش پلاستیسیته گسترده (فایبر) می‌باشد. مزیت استفاده از این روش تشکیل خودکار مفاصل پلاستیک و اندرکنش بین نیرو و لنگر در قاب‌ها است. این روش به دلیل در نظر گرفتن نیروهای محوری، خمشی، برشی و علاوه بر آن کنترل پاسخ رفتار غیرخطی، برای نمایش بهتر ویژگی‌های رفتار چرخه‌ای تیرهای پیوند قابل قبول می‌باشد. در این راستا، برای مدل‌سازی تیرهای پیوند، از مصالح هیسترتیک که طبق شکل (۳) از مصالح تک محوره موجود در اپنسیس که قابلیت نمایش رفتار چرخه‌ای پیوندها را به خوبی دارد با توجه به نتایج پژوهش گلستانی و همکاران [21] به روش پلاستیسیته گسترده استفاده شده است. با توجه به شکل (۴) تیرهای پیوند برشی بر اساس داده‌های نمونه S_2 از مطالعه دوسیکا و لویس [11] با مقادیر زوال و بیشینه مقدار کرنش برشی برای تیر پیوند برشی ۰/۱ رادیان کالیبره

مورد بررسی، یک بار سازه با تیر پیوند برشی و بار دیگر با تیر پیوند خمشی در نظر گرفته شده است. ضوابط تیر پیوند بر اساس مبحث دهم مقررات ملی ساختمان به شرح روابط (۱) تا (۳) می‌باشد:

چنانچه عملکرد برشی باشد:

$$e \leq 1.6 \frac{M_p}{V_p} \quad (1)$$

چنانچه عملکرد خمشی باشد:

$$e \geq 2.6 \frac{M_p}{V_p} \quad (2)$$

چنانچه ترکیبی از هر دو عملکرد باشد:

$$1.6 \frac{M_p}{V_p} < e < 2.6 \frac{M_p}{V_p} \quad (3)$$

در روابط فوق، e : طول تیر پیوند، M_p : لنگر پلاستیک مقطع، V_p : برش پلاستیک مقطع می‌باشند که از روابط (۴) و (۵) بدست می‌آیند:

$$M_p = Z_p \times F_y \quad (4)$$

$$V_p = 0.6 \times F_y(d - 2tf)tw \quad (5)$$

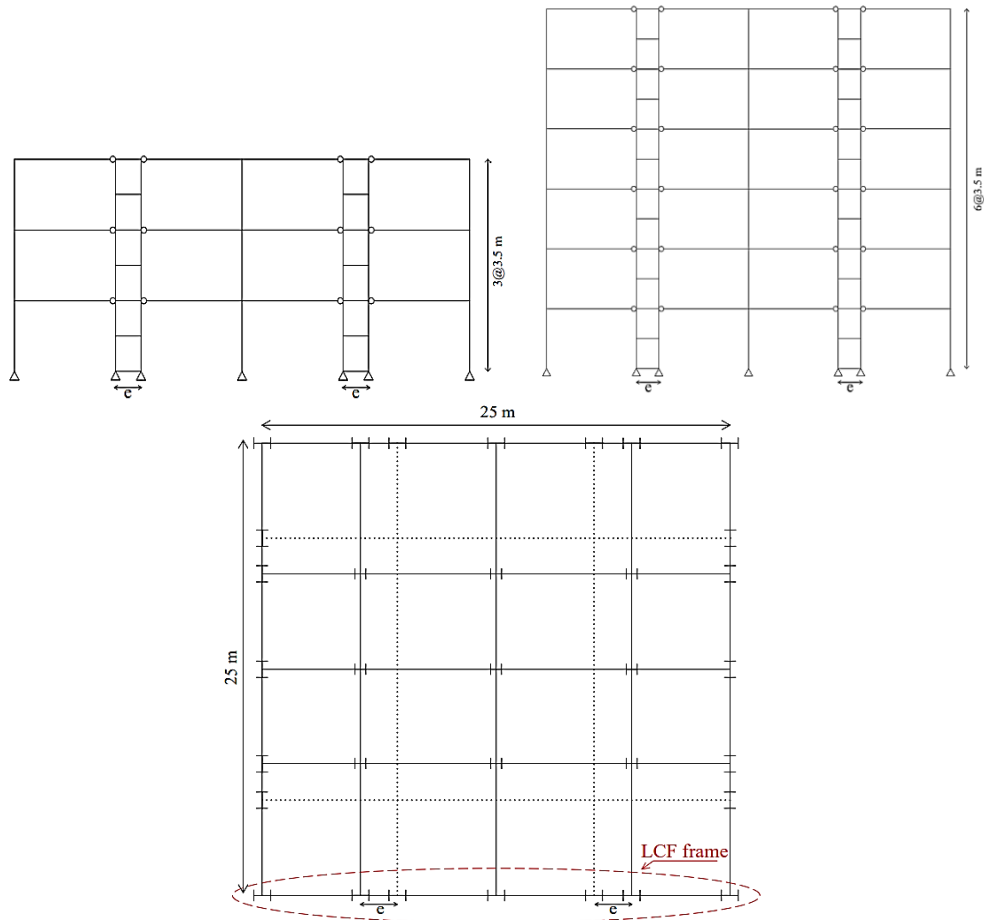
Z_p : اساس مقطع پلاستیک است که طبق رابطه (۶) محاسبه می‌شود:

$$Z_p = b \times tf(d - tf) + 0.25 \times tw(d - 2tf)^2 \quad (6)$$

با توجه به مشخصات مقاطع فولادی تیرپیوند، مقدار پارامترهای d ، t_w ، b ، t_f و F_y به ترتیب نمایانگر عمق تیر، ضخامت جان، طول بال، ضخامت بال و تنش تسلیم مقطع می‌باشند. طبق مبحث ۶ مقررات ملی ساختمان ویرایش ۱۳۹۸، بار مرده طبقات و بام به ترتیب برابر با ۶۰۰ و ۵۰۰ کیلوگرم بر متر مربع می‌باشند. لازم به ذکر است که بار دیوارهای داخلی طبق ضوابط جدید به بار مرده طبقات اضافه شده‌اند. بار زنده طبقات، بام و بار برف به ترتیب برابر ۲۰۰، ۱۵۰ و ۱۵۰ کیلوگرم بر مترمربع در نظر گرفته شده‌اند. همچنین بار دیوارهای پیرامونی ۵۹۰ کیلوگرم بر متر می‌باشند. در جداول (۱) و (۲) به ترتیب مقاطع مربوط به سازه ۳ و ۶ طبقه حاوی تیرهای پیوند با عملکرد برشی و خمشی نمایش داده شده است. مقاطع مورد استفاده از نوع بال پهن هستند و همچنین برای تیرهای پیوند از مقاطع ساخته شده از تیورق استفاده شده است و اعداد نشان داده شده در جدول بر حسب سانتی‌متر می‌باشند. از جمله

فایبر در اپنسیس شبیه‌سازی شده‌اند و رفتار غیرخطی آنها به‌دقت بررسی شده‌است [21].

شده‌اند. فولاد مورد استفاده در کالیبراسیون و محاسبه مقدار نیرو-تغییر مکان مورد نظر از نوع A992 می‌باشد. همچنین، مطابق شکل (۵) تیرهای پیوند خمشی با نمونه LB از همان مطالعه با استفاده از مصالح خستگی و با بهره‌گیری از مقاطع



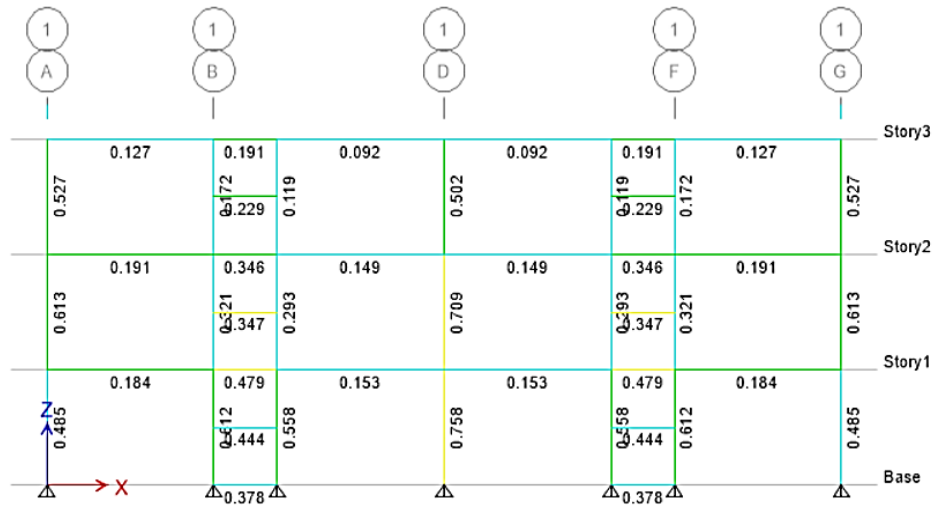
شکل ۱ پلان و نمای قاب‌های مورد مطالعه

جدول ۱ مقاطع سازه ۳ و ۶ طبقه قاب ستون پیوند برشی

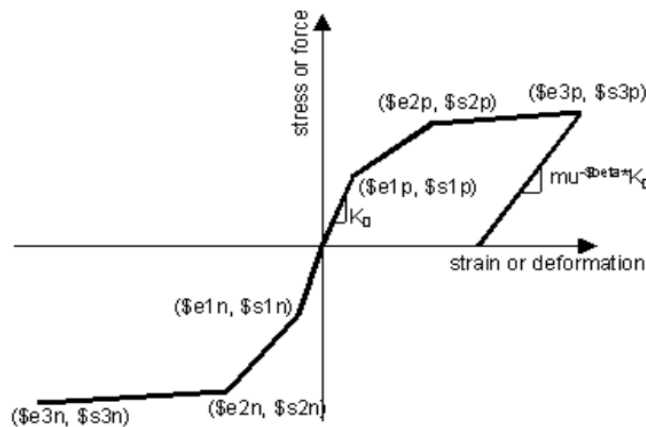
سیستم قاب خمشی			سیستم قاب ستون پیوند			طبقه	نام سازه
ستون داخلی	ستون محیطی	تیر	تیر پیوند میانی	تیر پیوند	ستون		
W14×53	W14×43	W12×72	I30×1-27.5×2	I30×1-27.5×2	W14×109	۱	طبقه ۳
W14×38	W14×43	W12×72	I30×1-27.5×2	I30×1-27.5×2	W14×109	۲	
W14×38	W14×43	W12×72	I30×1-27.5×2	I30×1-27.5×2	W14×109	۳	
W14×82	W14×74	W12×120	I44×1-28×2	I44×1-28×2	W14×342	۱	طبقه ۶
W14×82	W14×74	W12×120	I44×1-28×2	I44×1-28×2	W14×342	۲	
W14×82	W14×74	W12×120	I38×1-27.5×2	I38×1-27.5×2	W14×283	۳	
W14×82	W14×74	W12×106	I35×1-28×2	I35×1-28×2	W14×283	۴	
W14×82	W14×74	W12×106	I32×1-27×2	I32×1-27×2	W14×283	۵	
W14×82	W14×74	W12×106	I32×1-27×2	I32×1-27×2	W14×132	۶	

جدول ۲ مقاطع سازه ۳ و ۶ طبقه قاب ستون پیوند خمشی

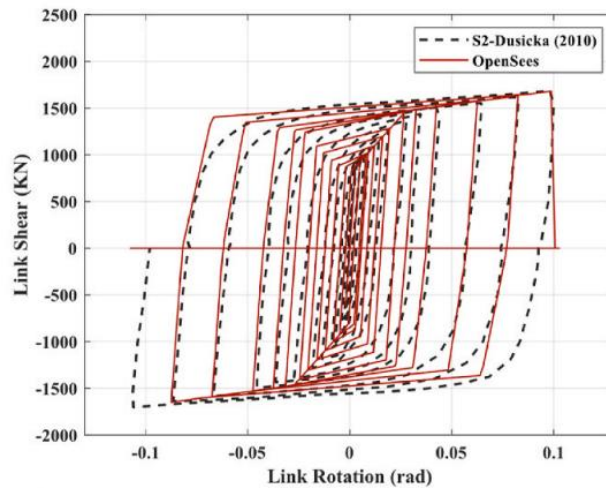
سیستم قاب خمشی			سیستم قاب ستون پیوند			طبقه	نام سازه
ستون داخلی	ستون محیطی	تیر	تیر پیوند میانی	تیر پیوند	ستون		
W14×43	W14×38	W12×53	I35×1.5-20×2	I35×1.5-20×2	W14×109	۱	طبقه ۳
W14×38	W14×34	W12×53	I35×1.5-20×2	I35×1.5-20×2	W14×109	۲	
W14×38	W14×34	W12×53	I35×1.5-20×2	I35×1.5-20×2	W14×109	۳	
W14×61	W14×61	W12×96	I46×2-17.5×2	I46×2-17.5×2	W14×342	۱	طبقه ۶
W14×61	W14×61	W12×96	I46×2-17.5×2	I46×2-17.5×2	W14×311	۲	
W14×61	W14×61	W12×96	I40×1.2-20×2	I40×1.2-20×2	W14×233	۳	
W14×53	W14×61	W12×87	I40×1.2-20×2	I40×1.2-20×2	W14×233	۴	
W14×53	W14×61	W12×87	I35×1.5-20×2	I35×1.5-20×2	W14×132	۵	
W14×53	W14×61	W12×87	I35×1.5-20×2	I35×1.5-20×2	W14×132	۶	



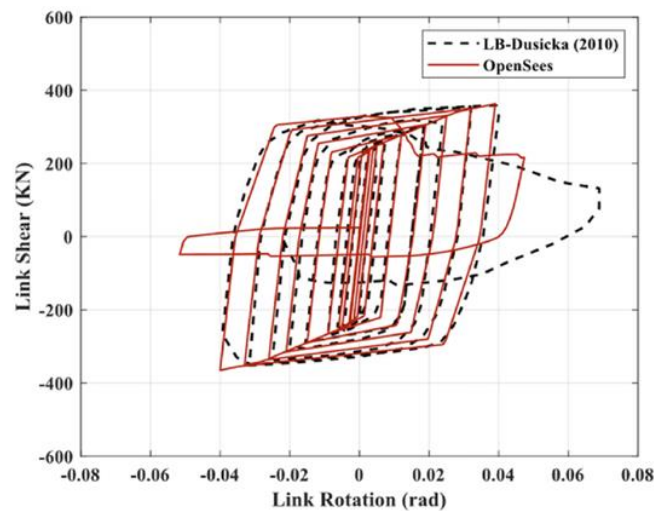
شکل ۲ نمای قاب ۳ طبقه برشی به همراه مقاومت حاصل از طراحی در محیط ایتبس



شکل ۳ رفتار مصالح هیسترتیک در نرم افزار اینسیس



شکل ۴ نتایج عددی و آزمایشگاهی تیرپیوندبرشی کالیبره‌شده با مقاله دوسیکا و لوییس [11] توسط گلستانی و همکاران [21]



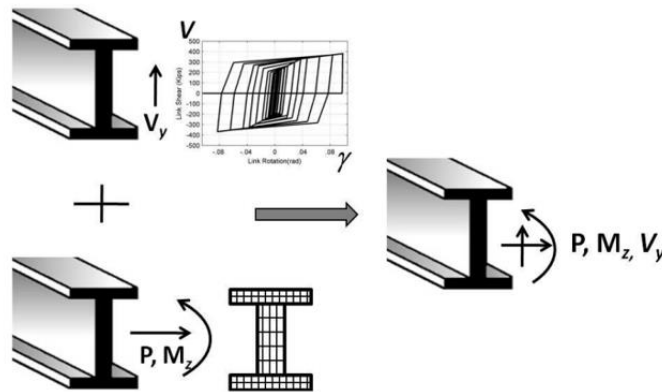
شکل ۵ نتایج عددی و آزمایشگاهی تیرپیوندخمشی کالیبره‌شده با مقاله دوسیکا و لوییس [11] توسط گلستانی و همکاران [21]

مقدار زوایی نخواهند داشت. یکی از مسائل بسیار مهم که باید در مدل‌سازی تیرهای خمشی برخلاف قاب ستون پیوند در نظر گرفته شود، جزئیات اتصالات خمشی مربوط به آن می‌باشد. با توجه به این که در این مطالعه از قاب‌های خمشی با شکل پذیری متوسط استفاده شده، دو نوع اتصال برای آن بررسی شده است. یکی از آن اتصال فلنجی با چهار پیچ بدون وجود ورق لچکی (BUEEP) و دیگری اتصال جوشی تقویت نشده به صورت مستقیم (WUFW) می‌باشد. شبیه‌سازی این اتصالات با کمک مقطع فایبر به صورت اتصال تیر به ستون بوده است. داده‌های موردنظر از نتایج مقاله گلستانی و همکاران [21] که مصالح تیرهای خمشی را مطابق با شکل (۸) با مدل اتصال چهارپیچی با ورق با مطالعه سامنز و مرای [27] کالیبره کردند،

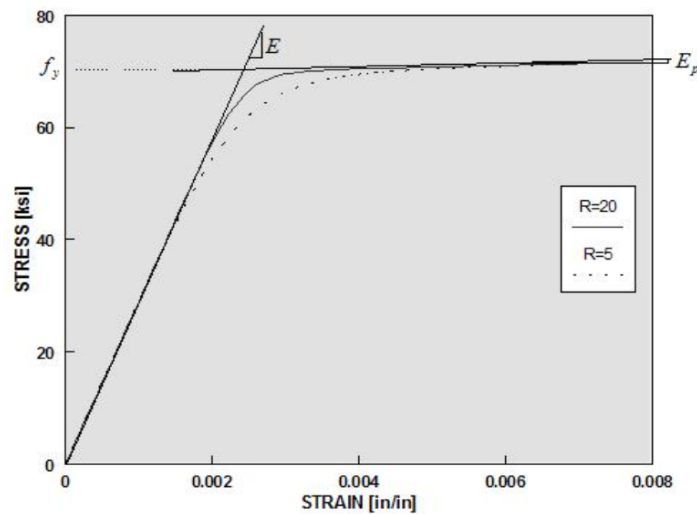
در شکل (۶)، مدل‌سازی تیر پیوند به روش فایبر نشان داده شده است. به منظور مدل‌سازی تیرهای خمشی و ستون‌ها، از المان تیر-ستون غیرخطی با مقاطع فایبر استفاده شده که توانایی مدل‌سازی رفتار غیرخطی تمامی نقاط اعضا را فراهم می‌کند. برای تعریف مصالح ستون‌ها از دستور Steel02 موجود در کتابخانه اپنسیس، مطابق با شکل (۷) استفاده شده است. طبق داده‌های موردنیاز در تعریف مصالح مقدار تنش تسلیم برابر با ۳۴۵ مگاپاسکال و مدول یانگ برابر با ۱۹۹۹۴۷/۹۸ مگاپاسکال بوده است. نسبت سخت‌شوندگی کرنشی برابر با ۰/۰۲ و مقادیر R0، R1، و R2 که پارامترهایی برای تبدیل از حالت الاستیک به پلاستیک هستند، به ترتیب برابر با ۲۰، ۰/۹۲۵ و ۰/۱۵ فرض شده‌اند. از آنجایی که ستون‌ها باید در حالت خطی باقی بمانند،

همکاران [21] بهره‌برداری شده‌است. مقادیر این مصالح بر اساس آزمایشات تجربی مربوط به اتصالات مفصلی که در سال ۲۰۰۴ توسط لیو و آستانه بررسی شده‌اند [28]، مطابق شکل (۱۰) کالیبره شده‌اند. مدل‌سازی ستون P-Δ نیز مطابق شکل (۱۱) برای سازه‌ها در نظر گرفته شده‌است. هدف لحاظ کردن اثر بارهای ثقلی بر سازه است، زیرا این بارها تأثیر قابل توجهی بر جابه‌جایی سازه دارند. ستون‌ها باید به صورت اتصال مفصلی تعریف شوند و برای تیرها از المان خرپا و برای ستون‌ها از المان تیرستون خطی استفاده شده‌است. اتصالات به پی نیز به صورت مفصلی طراحی شده‌اند تا بر بار جانبی تأثیری نداشته باشند و مقاومت و سختی بالایی داشته باشند.

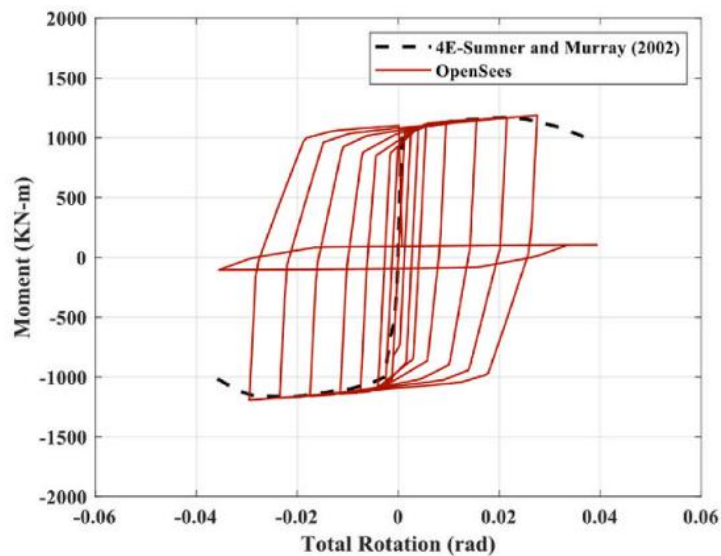
استفاده شده‌است. در این مطالعه، دو نوع اتصال برای قاب ستون پیوند طراحی شده است: (۱) اتصال صلب در ناحیه تقاطع تیرهای پیوند و تیرهای خمشی به ستون‌های محیطی و (۲) اتصال مفصلی برای تیرهای خمشی متصل به ستون‌های LC. علت استفاده از اتصالات مفصلی، جلوگیری از ورود زود هنگام تیرها به مرحله غیرارتجاعی است تا از افزایش جابه‌جایی ناشی از تغییر شکل‌های زودرس جلوگیری شود. بنابراین، یک سر اتصال باید گیردار و دیگری مفصلی باشد. برای مدل‌سازی اتصالات مفصلی در نرم‌افزار اپنسیس، از مصالح هیسترتیک به صورت المان طول صفر مطابق با شکل (۹) استفاده شده است. سختی و مقاومت حالت‌های انتقالی المان‌ها کنترل شده و برای حالت چرخشی از داده‌های مقاله گلستانی و



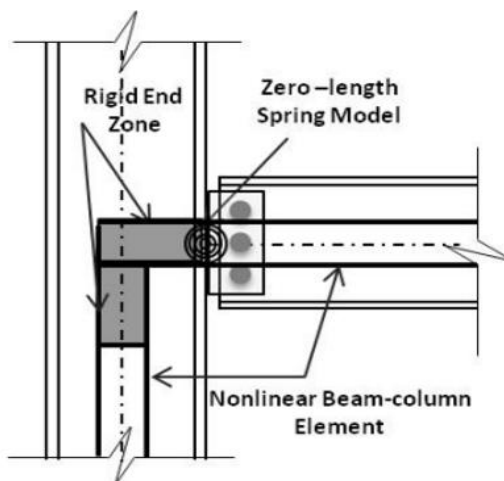
شکل ۶ روش فایبر مورد استفاده برای مدل‌سازی تیرهای پیوند [12]



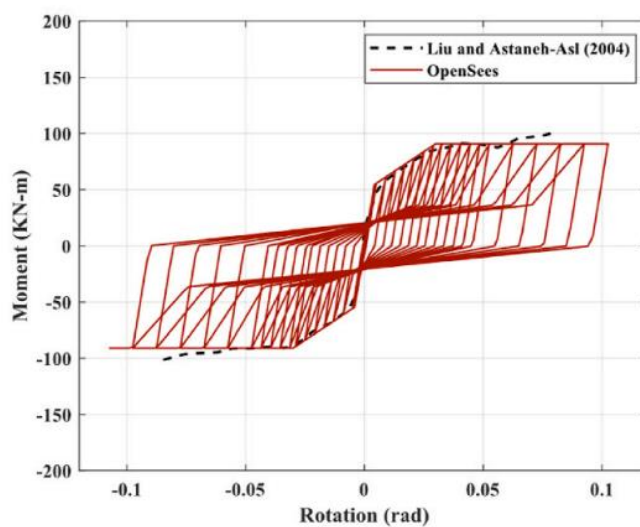
شکل ۷ نوع رفتار مصالح Steel102 در اپنسیس برای مدل‌سازی ستون‌ها



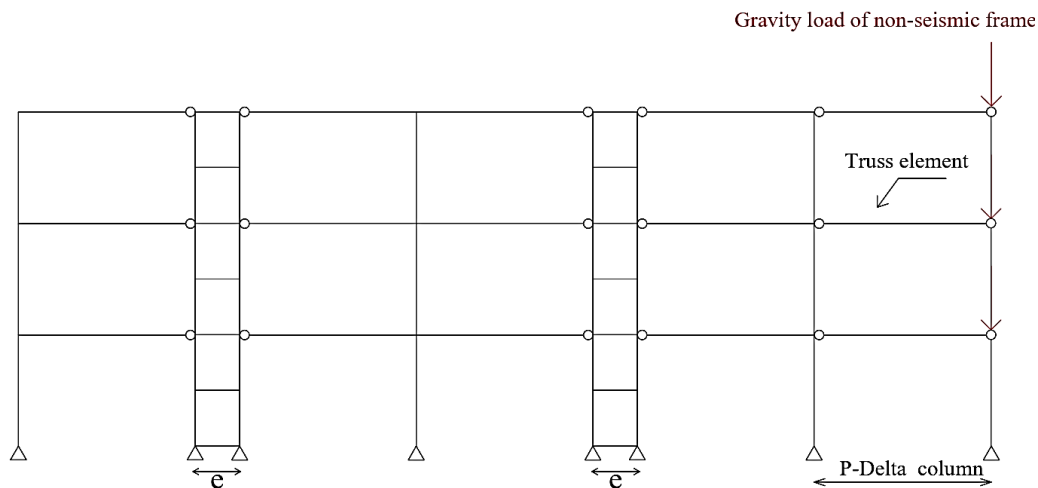
شکل ۸ نمودار کالیبراسیون تیرها و مقایسه آن با داده تجربی توسط گلستانی و همکاران در سال ۲۰۲۳ [21]



شکل ۹ نمایی از مدل‌سازی اتصال مفصلی تیرهای خمشی با ستون LC در اینسیس ملکوتیان در سال ۲۰۱۶ [14]



شکل ۱۰ مقایسه بین نمودار کالیبره‌شده برای اتصال مفصلی با نمونه 2A توسط گلستانی و همکاران در سال ۲۰۲۳ [21]

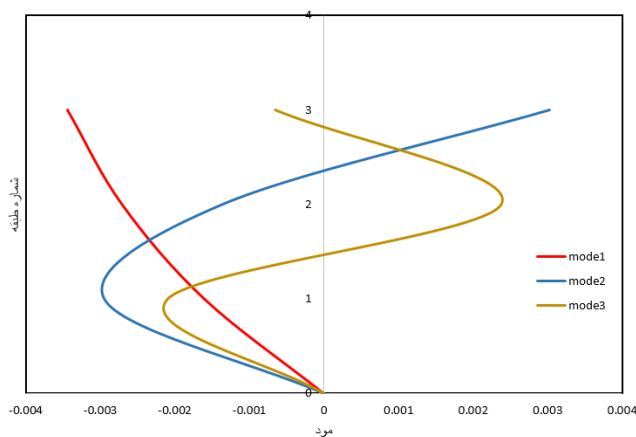


شکل ۱۱ جزئیات قاب ستون پیوند به همراه ستون P-Δ

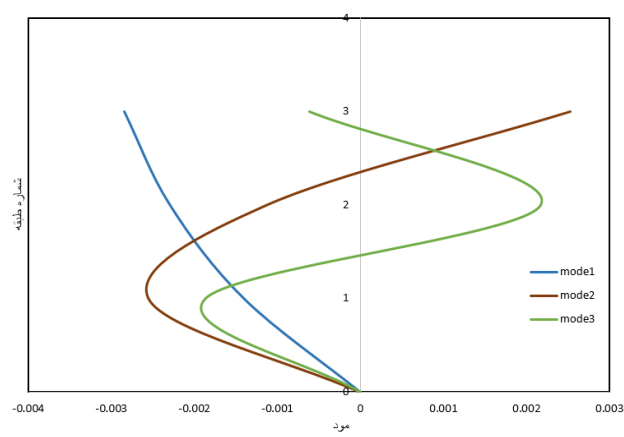
سناریوهای حاوی توالی لرزه‌ای

شتابنگاشت‌های مورد استفاده در این مطالعه به‌طور واقعی و در گذشته ثبت شده‌اند. زیرا شبیه‌سازی‌های مصنوعی برای زمین‌لرزه‌های متوالی دقت کافی نداشته و نتایج غیرواقعی گرایانه‌ای تولید می‌کنند. در سال ۲۰۰۵، قدرتی امیری و منوچهری دانا [29] به بررسی پارامترهای لرزه‌ای مرتبط با انتخاب زمین‌لرزه‌ها پرداختند و دریافتند که پارامترهای PGV و EPA به‌عنوان بهترین گزینه‌ها شناخته می‌شوند. به دلیل پیچیدگی‌های محاسباتی مرتبط با پارامتر PGV از آنجایی که از جنس سرعت است، پارامتر EPA به‌عنوان بیشینه شتاب موثر بهترین گزینه برای ارزیابی شتابنگاشت‌ها انتخاب شده‌است. برعکس تصور برخی از مهندسان پارامتری مانند PGA (حداکثر شتاب زمین)، معیار کافی و مناسب برای انتخاب لرزه‌ها نیست. در سال ۲۰۲۰، رجیبی و قدرتی امیری [30] تعدادی شتابنگاشت متوالی را از پایگاه داده PEER استخراج نمودند که از میان آن‌ها ۱۶ رکورد به‌عنوان مؤثرترین شتابنگاشت‌های متوالی انتخاب و در این مطالعه استفاده شدند. طبق جدول (۵)، شتابنگاشت‌های متوالی با مشخصات پارامترهای انتخابی و جزئیات مربوط به تاریخ و مکان وقوع زلزله‌ها ارائه شده‌است. این شتابنگاشت‌ها شامل دو لرزه اول و دوم هستند و زمین‌لرزه‌های متوالی ترکیبی از این دو لرزه با یک فاصله زمانی معین شتاب صفر بین آن‌ها می‌باشند.

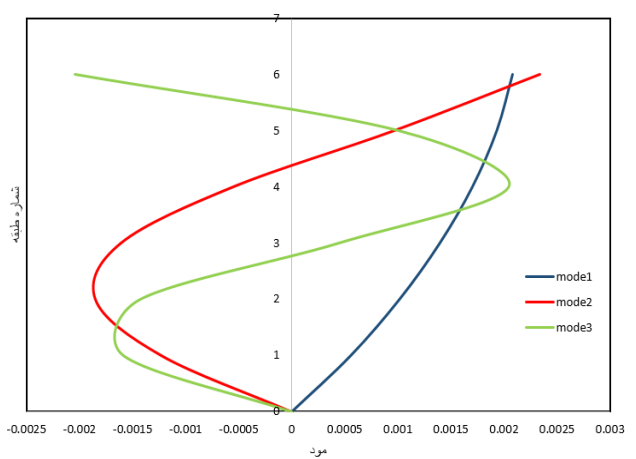
از طرفی، تحلیل مودال (Modal Analysis) یکی از روش‌های رایج در مهندسی سازه و دینامیک است که برای بررسی و تحلیل رفتار دینامیکی سازه‌ها در مواجهه با ارتعاشات استفاده می‌شود. نتایج حاصل شده از این تحلیل، برای هر ۴ قاب ستون پیوند به صورت مجزا در قالب ۳ شکل مودی (Mode Shapes) در شکل (۱۲) نمایش داده و در جدول (۳)، فرکانس‌های طبیعی حاصل از ارتعاش سازه هر قاب ارائه شده‌است. لازم به ذکر است که مدل‌سازی قاب‌های ستون پیوند با استفاده از نتایج تحلیل‌های استاتیکی غیرخطی مقاله گلستانی و همکاران در سال ۲۰۲۳ [21] اعتبارسنجی شده‌است. بدین جهت برای مدل‌سازی طبق مقاله مرجع برای اعضا سازه از مصالح A992 استفاده و مقدار مدول الاستیسیته و تنش تسلیم نیز به ترتیب برابر با ۱۹۹۹۴۷/۹۸ و ۳۴۵ مگاپاسکال در نظر گرفته شده‌است. قاب انتخابی، یک سازه ۳ طبقه به ابعاد ۲۰ در ۲۰ متر و با طول دهانه ۱،۲۵ متر تیرپیوند است که نمای آن در شکل (۱۳) نشان داده شده‌است. جزئیات مقاطع اعضا در جدول (۴) ارائه شده و مقدار زمان تناوب مدل مورد مطالعه و مدل مرجع به ترتیب برابر با ۰/۶۶۸ و ۰/۶۳۷ ثانیه با میزان اختلاف کمتر از ۵ درصد قابل قبول واقع شده‌است. همچنین، نمودار بارافزون مدل مرجع با مدل قاب مورد مطالعه در شکل (۱۴) مقایسه شده که نشان از انطباق قابل قبول دارد.



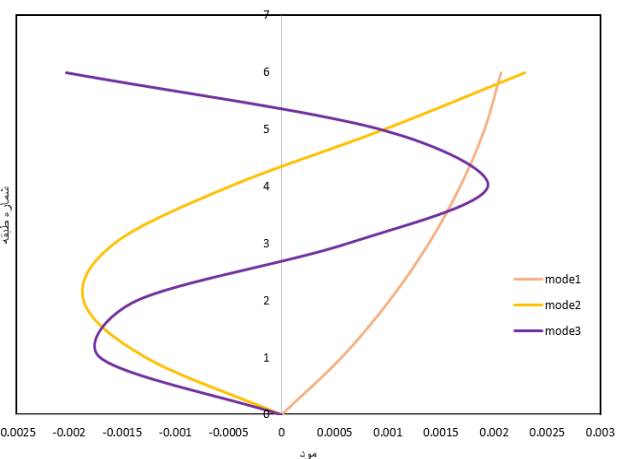
(ب)



(الف)



(د)

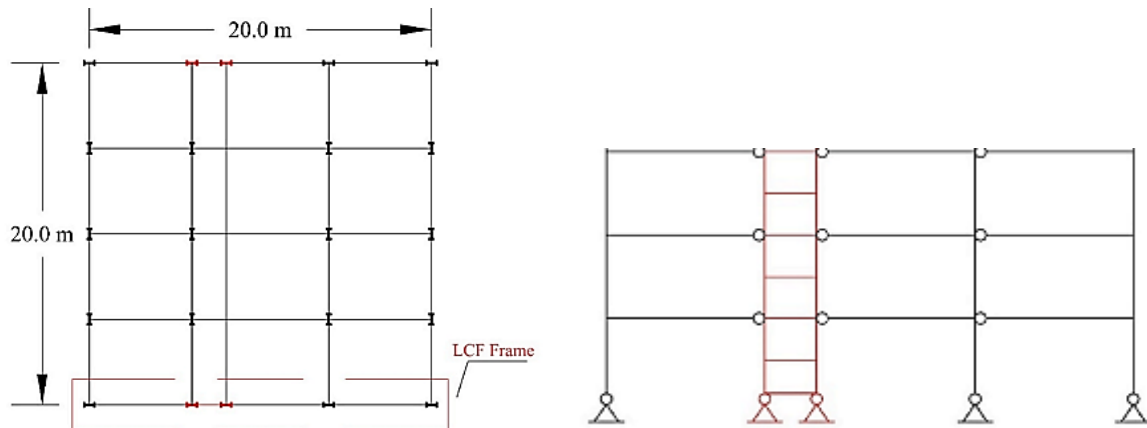


(ج)

شکل (۱۲) شکل‌های مودی قاب (الف) طبقه برشی، (ب) طبقه خمشی، (ج) طبقه برشی و (د) قاب ۶ طبقه خمشی

جدول ۳ فرکانس‌های طبیعی قاب‌ها حاصل از تحلیل مودال

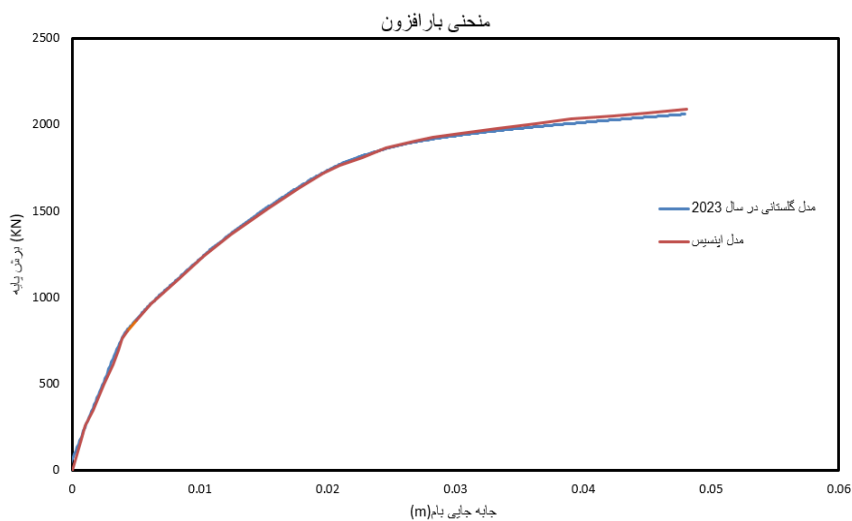
نام سازه	فرکانس ۱ (Hz)	فرکانس ۲ (Hz)	فرکانس ۳ (Hz)
۳ طبقه برشی	0.90139	4.03607	8.81666
۳ طبقه خمشی	0.95989	4.47805	10.49387
۶ طبقه برشی	0.657228	2.43501	5.42435
۶ طبقه خمشی	0.59176	2.20023	4.76001



شکل ۱۳ نما و پلان قاب انتخابی از مدل گلستانی و همکاران در سال ۲۰۲۳ [21]

جدول ۴ مقاطع سازه ۳ طبقه مدل مرجع [21]

سیستم قاب خمشی			سیستم قاب ستون پیوند			طبقه	نام سازه
ستون داخلی	ستون محیطی	تیر	تیر پیوند میانی	تیر پیوند	ستون		
W14×38	W14×38	W12×58	I35×1-22×2	I35×1-20×2	W14×145	۱	طبقه ۳
W14×38	W14×38	W12×58	I35×1-20×2	I35×1-20×2	W14×120	۲	
W14×38	W14×38	W12×53	I30×1-20×2	I30×1-20×2	W14×120	۳	



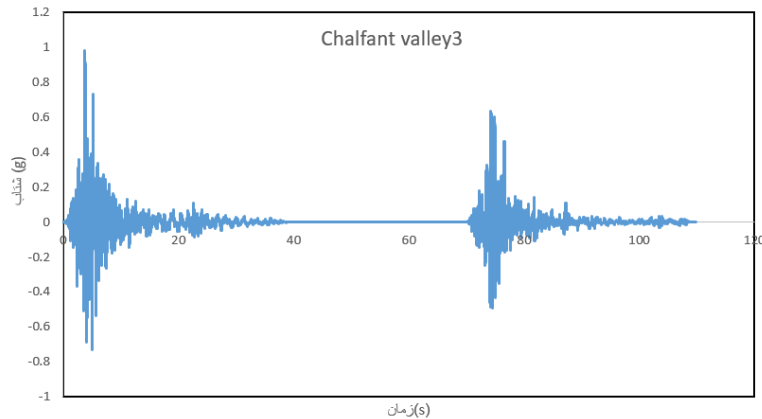
شکل (۱۴) مقایسه بین منحنی بارافزون قاب مدل شده و مدل مرجع [21]

به منظور مقیاس گذاری شتابنگاشت‌های لرزه اول، از آیین‌نامه ایران (استاندارد ۲۸۰۰) ویرایش چهارم استفاده شده است. طبق روش استاندارد ۲۸۰۰، طیف میانگین پاسخ شتاب لرزه اول باید در محدوده 0.2T تا 1.5T از طیف طرح استاندارد برای خاک نوع ۲ و خطر لرزه‌خیزی بسیار زیاد، کمتر نشود.

با اینکه زمین‌لرزه‌ها معمولاً فاصله زمانی بالایی دارند، اما زمان زیاد بین لرزه‌ها باعث افزایش حجم تحلیل و محاسبات می‌شود. به همین دلیل، در این مطالعه، فاصله زمانی بین لرزه‌ها بر اساس پیشنهاد وانگ [31] و همکاران در سال ۲۰۲۳ برابر با ۳۰ ثانیه در نظر گرفته شده است. شکل (۱۵) نمونه‌ای از شتابنگاشت متوالی چفنت ولی ۳ در سال ۱۹۸۶ را نشان می‌دهد.

جدول ۵ مشخصات شتابنگاشت‌های مورد استفاده در این مطالعه [30]

شماره	نام	تاریخ	EPA	PGA	ایستگاه
1	Chalfant Valley3	7/20/1986	0.2451	0.2382	CDMG 54428 Zack Brothers Ranch
		7/21/1986	0.4854	0.4246	CDMG 54428 Zack Brothers Ranch
2	Coalinga	7/22/1983	0.0993	0.1539	CDMG 46617 Coalinga-14th & Elm (Old CHP)
		7/25/1983	0.3513	0.5813	CDMG 46617 Coalinga-14th & Elm (Old CHP)
3	Mammoth4	5/27/1980	0.1722	0.2178	USC 37 USC McGee Creek Inn
		5/31/1980	0.2767	0.3689	USC 37 USC McGee Creek Inn
4	Mammoth5	5/25/1980	0.2726	0.3289	CDMG 54214 Long Valley Dam (Upr L Abut)
		5/27/1980	0.4287	0.6293	CDMG 54214 Long Valley Dam (Upr L Abut)
5	Mammoth6	5/26/1980	0.1117	0.0926	CDMG 54214 Long Valley Dam (Upr L Abut)
		5/27/1980	0.4287	0.6293	CDMG 54214 Long Valley Dam (Upr L Abut)
6	Chalfant Valley9	7/20/1986	0.088	0.1105	CDMG 54171 Bishop - LADWP South St
		7/21/1986	0.2197	0.2058	CDMG 54171 Bishop - LADWP South St
7	Livermore	1/24/1980	0.086	0.1066	CDMG 57187 San Ramon - Eastman Kodak
		1/27/1980	0.2119	0.1917	CDMG 57187 San Ramon - Eastman Kodak
8	Mammoth1	5/25/1980	0.2387	0.2818	CDMG 54301 Mammoth Lakes H. S.
		5/25/1980	0.4091	0.4143	CDMG 54301 Mammoth Lakes H. S.
9	Mammoth7	5/25/1980	0.1563	0.1669	CDMG 54099 Convict Creek
		5/25/1980	0.2618	0.4156	CDMG 54099 Convict Creek
10	Mammoth9	5/25/1980	0.1563	0.1669	CDMG 54099 Convict Creek
		5/27/1980	0.2207	0.3169	CDMG 54099 Convict Creek
11	Mammoth10	5/25/1980	0.2041	0.2172	CDMG 54099 Convict Creek
		5/25/1980	0.2618	0.4156	CDMG 54099 Convict Creek
12	Mammoth12	5/25/1980	0.2041	0.2172	CDMG 54099 Convict Creek
		5/27/1980	0.2207	0.3169	CDMG 54099 Convict Creek
13	Mammoth15	5/26/1980	0.0912	0.1234	CDMG 54099 Convict Creek
		5/27/1980	0.2207	0.3169	CDMG 54099 Convict Creek
14	Mammoth17	5/25/1980	0.2635	0.3403	CDMG 54214 Long Valley Dam (Upr L Abut)
		5/25/1980	0.2726	0.3289	CDMG 54214 Long Valley Dam (Upr L Abut)
15	Mammoth20	5/25/1980	0.2635	0.3403	CDMG 54214 Long Valley Dam (Upr L Abut)
		5/27/1980	0.4287	0.6293	CDMG 54214 Long Valley Dam (Upr L Abut)
16	Mammoth21	5/25/1980	0.0884	0.1369	CDMG 54214 Long Valley Dam (Upr L Abut)
		5/25/1980	0.2726	0.3289	CDMG 54214 Long Valley Dam (Upr L Abut)



شکل ۱۵ نمونه شتابنگاشت متوالی چفلنت ولی ۳ در سال ۱۹۸۶ با بازه زمانی شتاب صفر ۳۰ ثانیه

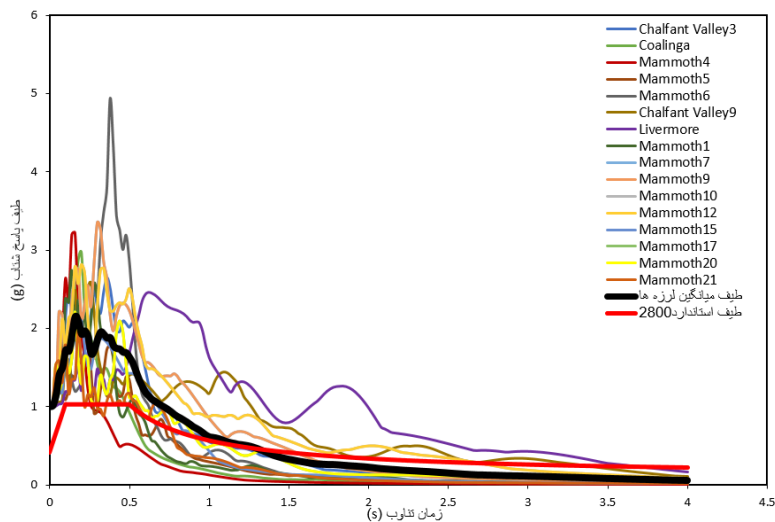
همراه نمودار رفتاری تیرهای پیوند به صورت دو عملکرد رفتاری برشی و خمشی برای هر چهار سازه در طبقات اول نشان داده شده است.

با توجه به نمودارهای هیستریزیس، می توان نتیجه گرفت که حلقه های تشکیل شده تیرهای پیوند به خوبی توانسته اند در بازه مورد نظر مانند نمودار رفتاری خود عمل کنند. تفاوت های رفتاری تیرهای پیوند خمشی و برشی به نحوه عملکرد آنها تحت بارهای دینامیکی و شکل پذیری مرتبط است. تیرهای پیوند خمشی به دلیل شکل پذیری بالاتر، معمولاً عملکرد بهتری در برابر بارهای چرخه ای و تغییر شکل های بزرگ دارند و در نمودارهای هیستریزیس، حلقه های بزرگتری تشکیل می دهند که نشان دهنده جذب و اتلاف انرژی زیاد است. این تیرها می توانند انرژی بیشتری را جذب کرده و از آسیب های شدید جلوگیری کنند. در مقابل، تیرهای پیوند برشی به دلیل وابستگی به مقاومت برشی، انعطاف پذیری کمتری دارند و بیشتر در نواحی خاصی از تیر مانند اتصال ها دچار شکست برشی می شوند، بنابراین شکل پذیری کمتری دارند. در ادامه پس از تحلیل قاب-های مورد مطالعه در معرض زلزله های با و بدون توالی لرزه ای، پارامترهایی از قبیل جابجایی نسبی بام و طبقات، جابجایی پسماند، برش پایه و شاخص خسارت پارک-انگ (۱۹۸۵) استخراج شده که در ادامه به تفکیک معرفی شده اند.

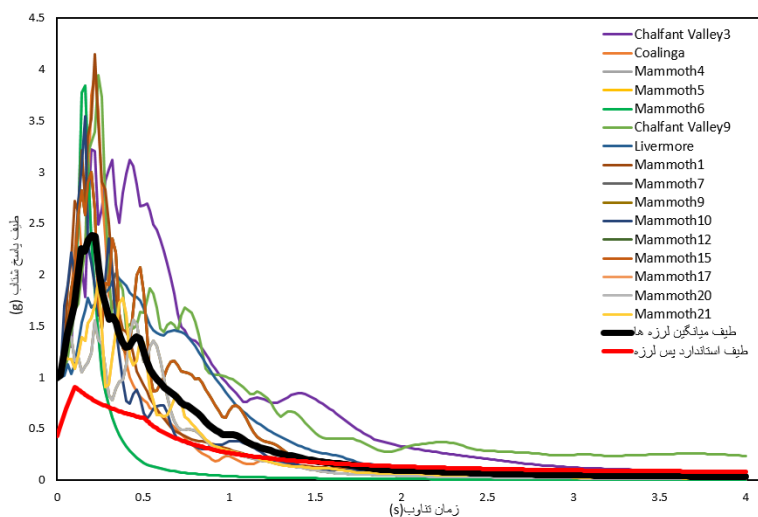
همچنین مقدار زمان تناوب T سازه بر اساس رابطه موجود در بند (۱-۳-۳) قاب های فولادی استاندارد ۲۸۰۰ با توجه به ارتفاع سازه از تراز پایه محاسبه شده است. برای مقیاس شتابنگاشت های لرزه دوم، از طیف طرح جدیدی بر اساس روشی که در مطالعه عبدالله زاده و همکاران در سال ۲۰۱۹ [32] ارائه شده، مقیاس بندی همانند طیف نخست صورت گرفته است. در شکل های (۱۶) و (۱۷) به ترتیب مقیاس بندی شتابنگاشت های لرزه اول و دوم نمایش داده شده است. در آخر قاب های مورد نظر تحت تحلیل دینامیکی غیرخطی در معرض لرزه های فوق الذکر به ۲ صورت منفرد (لرزه نخست) و زلزله حاوی توالی لرزه ای (لرزه نخست و لرزه دوم) قرار گرفته اند.

نتایج حاصل از تحلیل های دینامیکی غیرخطی

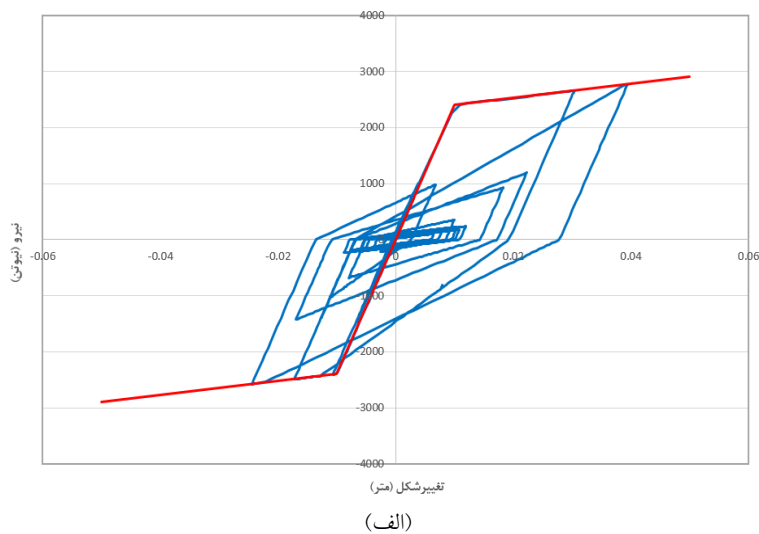
به منظور ارزیابی عملکرد لرزه ای سازه ها، قاب ها باید تحت تحلیل دینامیکی تاریخچه زمانی غیرخطی قرار گیرند. ابتدا بارهای ثقیلی به سازه ها اعمال شده و سپس تحلیل غیرخطی دینامیکی با دستورات همگرایی در محیط اپنسیس انجام می شود. به جهت اطمینان از صحت عملکرد صحیح تیرهای پیوند با توجه به مدل رفتاری خود، قاب ها تحت زلزله ای نورتریج در سال ۱۹۹۴ با مقدار حداکثر شتاب زمین (PGA) برابر با 1g قرار گرفته و در شکل (۱۸) نمونه هایی از عملکرد تیرهای پیوند به صورت حلقه های چرخه ای نیرو- تغییر شکل به



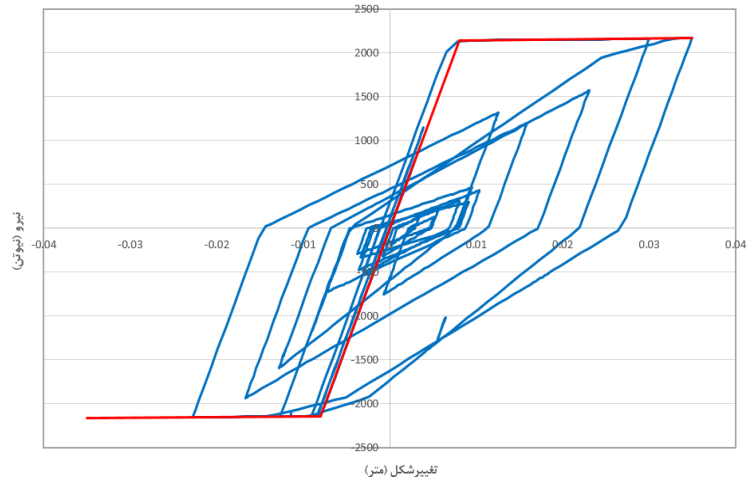
شکل ۱۶ نمودار مقیاس شده لرزه‌های اول طبق طیف طرح استاندارد ۲۸۰۰



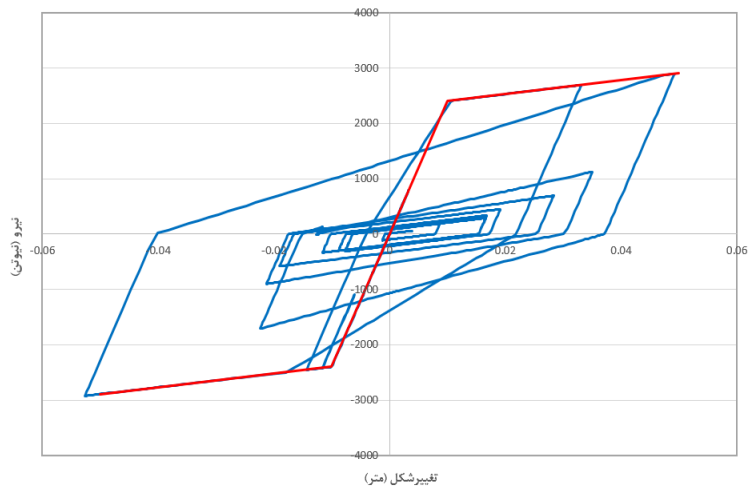
شکل ۱۷ نمودار مقیاس شده لرزه‌های دوم طبق طیف طرح ارائه شده توسط عبدالله زاده و همکاران در سال ۲۰۱۹ [32]



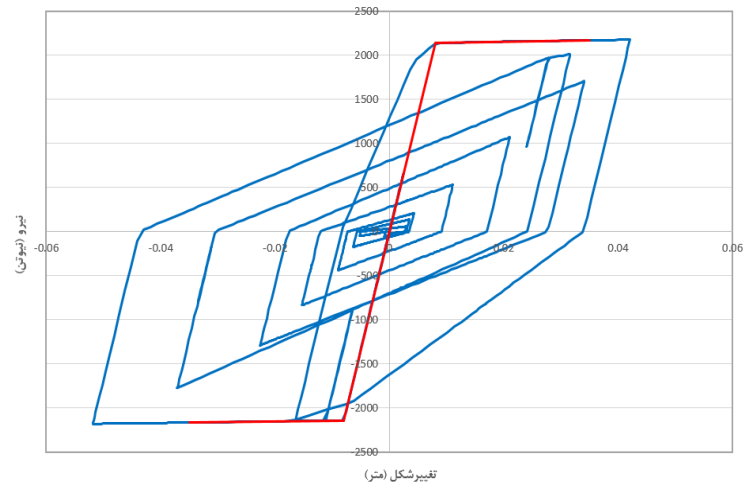
(الف)



(ب)



(ج)



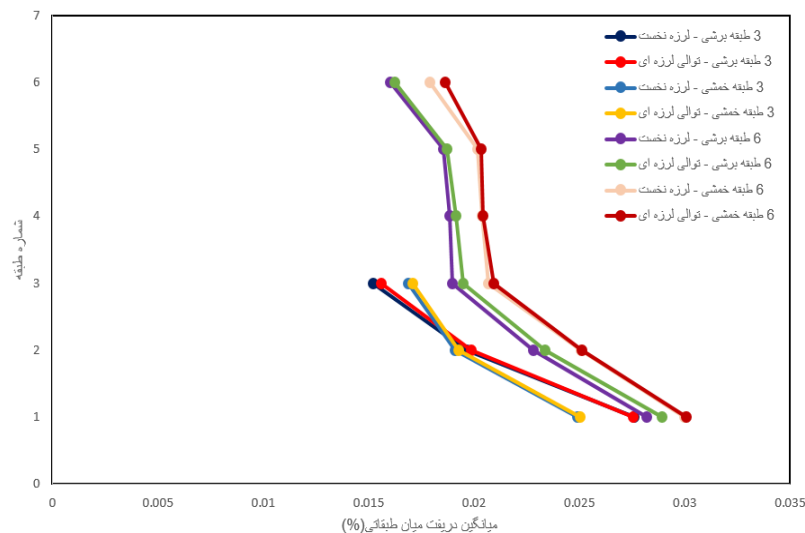
(د)

شکل ۱۸ نمودار هیستریزیس به همراه منحنی رفتاری تیر پیوند (الف) قاب ۳ طبقه با رفتاربرشی در طبقه اول، (ب) قاب ۳ طبقه با رفتارخمش در طبقه اول، (ج) قاب ۶ طبقه با رفتاربرشی در طبقه اول و (د) قاب ۶ طبقه با رفتارخمش در طبقه اول

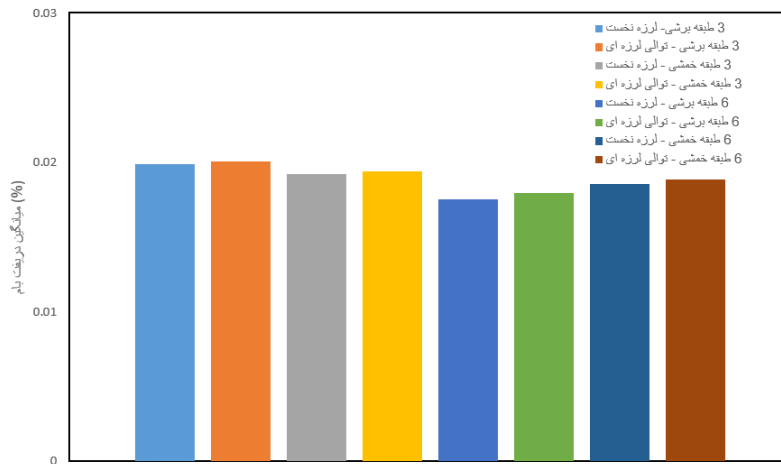
جابه‌جایی نسبی بام و طبقات

مقدار جابه‌جایی نسبی بام برابر با میزان جابه‌جایی در بام به ارتفاع کل سازه می‌باشد. از طرفی اگر اختلاف مقادیر جابه‌جایی در هر طبقه با طبقه پایین‌تر خود به ارتفاع آن بدست بیاید به آن نیز جابه‌جایی نسبی میان طبقاتی می‌گویند. مطابق شکل (۱۹)، بیشترین مقدار جابه‌جایی نسبی طبقات در زلزله لیورمور رخ داده و با افزایش ارتفاع طبقات، این جابه‌جایی کاهش یافته‌است. مقایسه نمودارها نشان می‌دهد که در حالت زلزله‌های متوالی، جابه‌جایی نسبی در تمام قاب‌ها بیشتر از حالت زلزله منفرد است. نسبت حداکثر میانگین جابه‌جایی در زلزله‌های متوالی به منفرد در قاب‌های ۳ و ۶ طبقه با عملکرد برشی تیرپیوند به ترتیب برابر $1/0.256$ و $1/0.28$ و در عملکرد خمشی طبقات، جابه‌جایی نسبی نیز افزایش می‌یابد. در شکل (۲۰)، حداکثر میانگین جابه‌جایی نسبی بام برای قاب‌ها تحت توالی لرزه‌ای و لرزه اول نشان داده شده‌است. بیشترین مقدار جابه‌جایی برای سازه ۳ طبقه برشی در حالت متوالی برابر با $0/02$ درصد و کمترین مقدار برای سازه ۶ طبقه برشی در حالت منفرد برابر با $0/0175$ درصد است. همچنین نسبت جابه‌جایی

توالی لرزه‌ای به منفرد در سازه‌های ۳ و ۶ طبقه برشی به ترتیب برابر با $1/0.008$ و $1/0.239$ و در سازه‌های ۳ و ۶ طبقه خمشی برابر با $1/0.087$ و $1/0.159$ محاسبه شده‌است. به طور کلی، با افزایش تعداد طبقات، مقدار جابه‌جایی نسبی بام کاهش می‌یابد. قاب‌های ۶ طبقه در مقایسه با قاب‌های ۳ طبقه، جابه‌جایی نسبی بیشتری را در طبقات بالاتر در سازه‌های بلندتر (۶ طبقه) در برابر زلزله‌های متوالی آسیب‌پذیرتر هستند و این پدیده به دلیل افزایش تغییرشکل تجمعی در طی پدیده توالی لرزه‌ای است. قاب‌های حاوی تیرهای پیوند برشی مقدار جابه‌جایی نسبی کمتری به نسبت قاب‌ها با تیر پیوند خمشی دارند. این رفتار بیانگر مقاومت بالاتر قاب‌های برشی در برابر جابه‌جایی‌های نسبی طبقات است که معمولاً ناشی از سختی بیشتر این سیستم‌ها است. از طرف دیگر، قاب‌های خمشی جابه‌جایی بیشتری دارند که می‌تواند به دلیل شکل‌پذیری بالاتر آن‌ها باشد. در طبقات پایین، جابه‌جایی نسبی میان قاب‌های ۳ طبقه و ۶ طبقه تفاوت زیادی ندارد. این نشان می‌دهد که بخش‌های پایین‌تر سازه عمدتاً تحت اثر رفتار سختی کل سازه قرار دارند و تغییرات اصلی در طبقات بالاتر رخ می‌دهد.



شکل ۱۹ میانگین حداکثر جابه‌جایی نسبی طبقات برای ۴ قاب تحت زلزله منفرد و متوالی

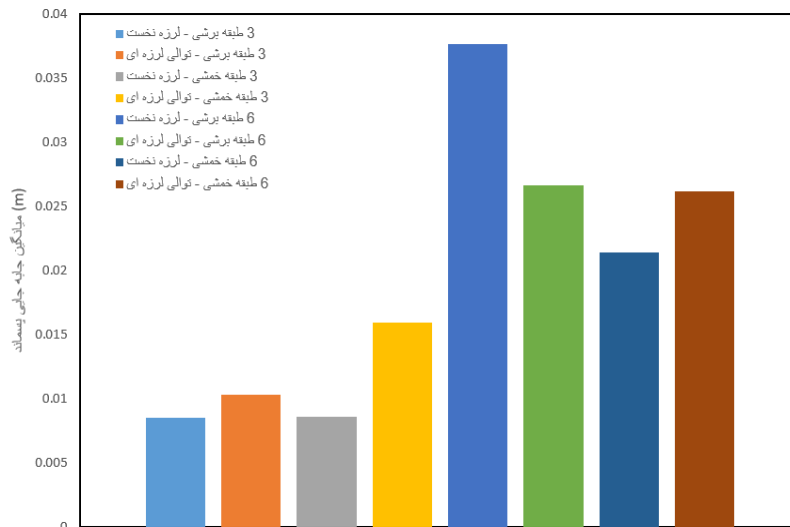


شکل ۲۰ میانگین حداکثر جابه‌جایی بام برای ۴ قاب تحت زلزله منفرد و متوالی

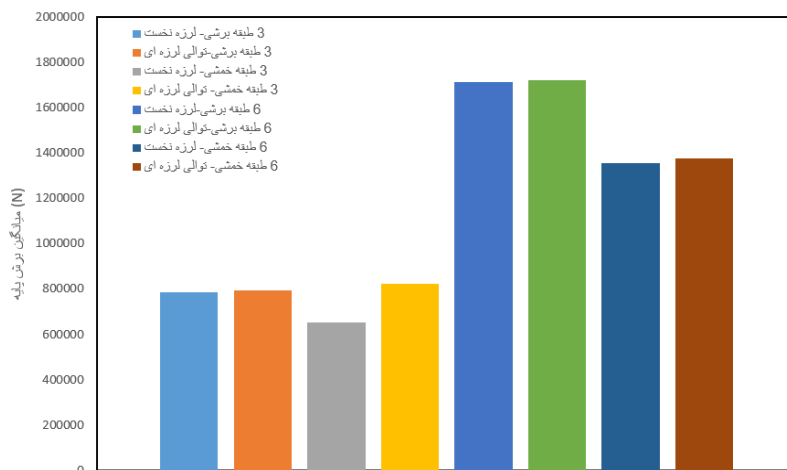
جابه‌جایی پسماند

دوم شدیدتر بوده‌است. جابجایی پسماند ناشی از زلزله‌های متوالی به‌طور قابل توجهی بیشتر از زلزله‌های منفرد است. برای مثال، قاب برشی ۳ طبقه تحت زلزله متوالی بیشترین مقدار جابجایی را نشان می‌دهد این امر نشان می‌دهد که اثر تجمعی زلزله‌های متوالی می‌تواند باعث باقی ماندن تغییر شکل دائمی در سازه شود. تیرهای پیوند خمشی به دلیل تغییر شکل پذیری بالا، انرژی بیشتری در بارگذاری چرخه‌ای جذب و اتلاف می‌کنند. در قاب‌های ۳ طبقه، سهم این تیرها در جذب انرژی افزایش یافته و جابجایی پسماند تحت توالی لرزه‌ای نسبت به لرزه نخست بیشتر است. در سازه‌های ۶ طبقه، توزیع پیچیده نیروها و تمرکز انرژی در طبقات بالا، جابجایی پسماند طبقات پایین را کاهش می‌دهد. رفتار فداشونده این تیرها امکان بازگشت به تعادل بهتر پس از زلزله دوم را فراهم می‌کند.

جابه‌جایی پسماند، یکی دیگر از پارامترهای بدست آمده است که برابر با میزان جابه‌جایی اضافی باقی مانده در سازه بعد از ارتعاش نهایی سازه می‌باشد. در این مطالعه، میانگین جابه‌جایی پسماند نیز بررسی شده و نمودارهای آن برای تمام قاب‌ها در دو حالت لرزه‌ای در شکل (۲۱) ارائه شده‌است. حداکثر و حداقل مقادیر جابه‌جایی پسماند به ترتیب در سازه‌های ۳ و ۶ طبقه با رفتار برشی در حالت زلزله نخست برابر با $37/64$ و $8/523$ میلی‌متر ثبت شده‌است. نسبت‌های جابه‌جایی پسماند برای قاب‌های ۳ و ۶ طبقه با رفتار برشی به ترتیب برابر $1/207$ و $0/708$ و برای سازه‌های ۳ و ۶ طبقه با رفتار خمشی برابر با $1/856$ و $1/223$ است. این اختلاف در جابه‌جایی باقی مانده نشان می‌دهد که در قاب ۳ طبقه با عملکرد خمشی، اثر لرزه



شکل ۲۱ میانگین حداکثر جابه‌جایی پسماند برای ۴ قاب تحت زلزله منفرد و متوالی



شکل ۲۲ میانگین حداکثر نیروی برش پایه برای ۴ قاب تحت زلزله منفرد و متوالی

افزایش نیروی برشی ناشی از زلزله است. زلزله‌های متوالی منجر به افزایش نیروی برش پایه در تمامی قاب‌ها شده است که نشان‌دهنده اثر تجمعی زلزله‌های متوالی در افزایش نیروهای داخلی سازه می‌باشد.

شاخص خسارت (Park-Ang (1985)

عملکرد لرزه‌ای سازه‌ها با مدل آسیب یا شاخص خرابی ارزیابی می‌شود. انتخاب پارامتر مناسب برای توصیف میزان آسیب سازه، گامی اساسی در بهبود عملکرد آن تحت زمین‌لرزه‌های متعدد است. شاخص خسارت به عنوان معیاری کمی برای اندازه‌گیری آسیب و تعیین سطوح خسارت ناشی از نیروهای خارجی بر سازه استفاده می‌شود. در ادبیات فنی و مهندسی سازه، شاخص‌های خسارت به دو دسته اصلی تقسیم می‌شوند: یکی بر اساس حداکثر تغییرشکل یا تغییرمکان نسبی سازه و دیگری بر اساس انرژی تلف شده ناشی از پاسخ‌های هیستریتیک. همچنین، شاخص‌های ترکیبی وجود دارند که تاثیرات تغییرشکل و اتلاف انرژی را به‌طور همزمان برای ارزیابی بارهای چرخه‌ای نشان می‌دهند، که یکی از مهم‌ترین آن‌ها، شاخص خسارت پارک و آنگ است [33]. شاخص خسارت پارک و آنگ در سال ۱۹۸۵ برای ارزیابی خسارت لرزه‌ای سازه‌ها طراحی شده و اثر ترکیبی بارگذاری‌های چرخه‌ای و تغییرشکل‌های بیش از اندازه را مدنظر قرار می‌دهد. این شاخص (D) طبق رابطه (۹) مجدداً بازنویسی شده است [34]:

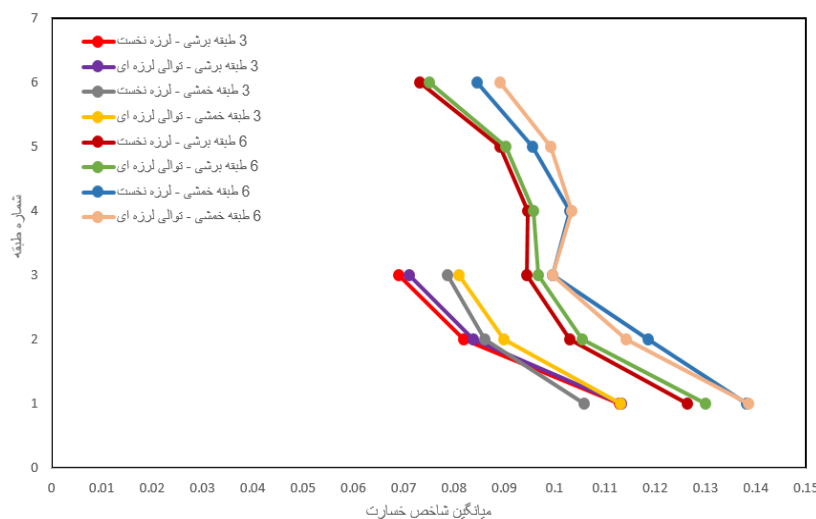
نیروی برش پایه

نیروی برش پایه برابر با کل نیروی جانبی واردشده به تراز پایه سازه در زمان وقوع زمین‌لرزه است. حداکثر میانگین مقدار برش پایه سازه‌ها در شکل (۲۲) برای لرزه اول و توالی لرزه‌ای نشان داده شده است. بیشترین نیروی برش پایه در قاب ۶ طبقه برشی با مقدار ۱۷۲۱/۴۴ کیلونیوتن در حالت توالی لرزه‌ای و کمترین نیروی برش پایه در قاب ۳ طبقه خمشی با مقدار ۶۵۱/۷۲ کیلونیوتن محاسبه شده است. نسبت‌های برش پایه در حالت توالی لرزه‌ای به منفرد در سازه‌های ۳ و ۶ طبقه برشی به ترتیب ۱/۰۰۸۷ و ۱/۰۰۵ و در سازه‌های ۳ و ۶ طبقه خمشی برابر با ۱/۲۶۲ و ۱/۱۴۷ به دست آمده است. این نتایج نشان‌دهنده افزایش اثرات لرزه‌ای در زلزله‌های متوالی نسبت به زلزله‌های منفرد است و همچنین با افزایش تعداد طبقات، مقادیر نیروی برش پایه نیز افزایش می‌یابد. نیروی برش پایه در زلزله‌های متوالی بیشتر از زلزله‌های منفرد است. این افزایش نشان می‌دهد که اثرات تجمعی زلزله‌های متوالی می‌تواند باعث افزایش تقاضای نیروی برش در پایه سازه شود. قاب‌ها با رفتار برشی در مقایسه با قاب‌ها با رفتار خمشی تحت زلزله‌های منفرد و متوالی نیروی برش پایه بیشتری را تجربه می‌کنند. این مسئله ناشی از سختی بالاتر قاب‌های برشی است که باعث انتقال نیروی بیشتری به پایه می‌شود. همچنین قاب‌های ۶ طبقه، نیروی برش پایه بیشتری نسبت به قاب‌های ۳ طبقه تجربه می‌کنند. این رفتار ناشی از افزایش جرم سازه و در نتیجه

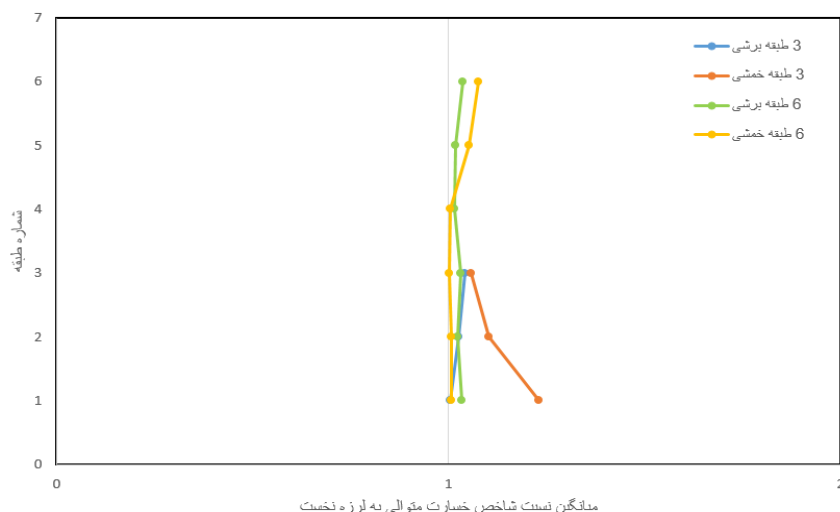
نسبت‌های خرابی سازه‌ها در طبقات مختلف چهار سازه را نمایش می‌دهد. مقادیر این نسبت‌ها عمدتاً بالاتر از یک است و در قاب ۳ طبقه خمشی، تفاوت بین زلزله اول و توالی زلزله‌ای بیشتر به چشم می‌خورد. شکل (۲۵)، نمودار حداکثر مقدار میانگین نسبت حالت‌های لرزه‌ای را برای مقایسه بهتر نشان می‌دهد. به‌طور کلی، سازه‌های کوتاه‌مرتبه نسبت‌های لرزه‌ای بیشتری نسبت به سازه‌های میان‌مرتبه دارند. بر اساس طبقه‌بندی شدت آسیب لرزه‌ای، شاخص خسارت سازه‌ها در هر رکورد لرزه‌ای نشان می‌دهد که عمدتاً آسیب‌ها کم بوده و در برخی موارد به میزان متوسط کمتر از ۰/۴ رسیده‌اند. همچنین، با تعویض تیرهای پیوند، سازه به حالت اولیه خود بازمی‌گردد که نشان‌دهنده عملکرد مناسب تیرهای پیوند در قاب LCF است. نتایج حاصل از قاب‌های ستون‌پیوند دودمانه تحت توالی لرزه‌ای نشان‌دهنده اثرات قابل توجه زمین‌لرزه‌های متوالی است، که باید در استانداردهای طراحی لرزه‌ای ساختمان‌ها مد نظر قرار گیرد. این موضوع حائز اهمیت است، زیرا خسارت‌های شدید در حالت تک‌زلزله ممکن است فرصت بازسازی را کاهش دهد و با وقوع زلزله دیگر، خطر خرابی و فروریزش سازه‌ها افزایش می‌یابد. با این حال، قاب‌های ستون‌پیوند نیاز به بررسی‌های بیشتر دارند، اما به‌طور کلی، این سیستم به‌دلیل رفتارهای فداشونده تیرهای پیوند قابل تعویض، عملکرد مناسبی در برابر زلزله از خود نشان می‌دهد.

$$DI = \frac{\delta M}{\delta u} + \frac{\beta}{Qy\delta u} \int dE \quad (9)$$

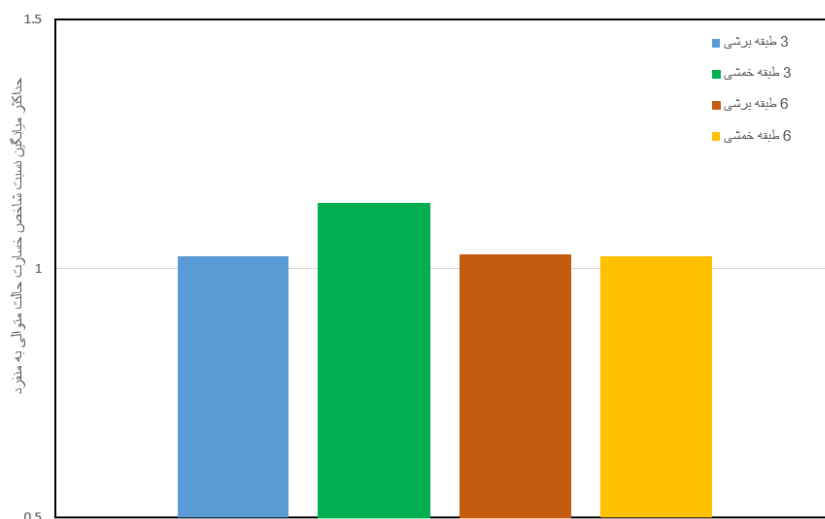
با توجه به رابطه (۹)، δM برابر با مقدار حداکثر تغییرشکل عضو ناشی از نیروی‌های جانبی زلزله، δu برابر با مقدار ظرفیت نهایی تغییرشکل عضو، β ضریبی ثابت برای شاخص خسارت که در مرتبط با سطح آسیب و انرژی اتلاف‌شده ساختمان می‌باشد. این ضریب بسته به نوع ساختمان برای سازه‌های بتنی و فولادی به ترتیب برابر با ۰/۱۵ و ۰/۲۵ بدست آمده‌است. $\int dE$ برابر با مقدار انرژی انباشته یا تلف‌شده در سازه تحت نیروهای زلزله و Qy نیز نیرو یا مقاومت برشی تسلیم ساختمان می‌باشد. شاخص خسارت سازه‌ها به پنج سطح آسیب طبقه‌بندی می‌شود: DI کمتر از ۰/۱ نشان‌دهنده عدم آسیب، DI بین ۰/۱ و ۰/۲۵ آسیب جزئی، D بین ۰/۲۵ و ۰/۴ آسیب متوسط، DI بین ۰/۴ تا ۱ آسیب شدید و عدم قابلیت تعمیر، و DI بیشتر از ۱ نشان‌دهنده فروپاشی کامل سازه است [33]. مطابق شکل (۲۳)، میانگینی از شاخص خرابی‌های ارزیابی‌شده در تمامی طبقات قاب‌ها را در دو حالت متوالی و منفرد نشان می‌دهد. نتایج نشان می‌دهد که مقادیر خرابی در قاب‌های ۶ طبقه بیشتر از قاب‌های ۳ طبقه بوده و تیرهای پیوند با رفتار خمشی تأثیر بیشتری بر افزایش میزان خرابی دارند؛ به‌طوری که عملکرد لرزه‌ای قاب‌های برشی بهتر از خمشی است. همچنین، در طبقات ۴ به بالاتر در سازه‌های ۶ طبقه، میزان خسارت لرزه‌ای به‌طور جزئی افزایش یافته و قاب ۶ طبقه خمشی بالاترین مقادیر خرابی را دارد. شکل (۲۴)، میانگینی از



شکل ۲۳ میانگین شاخص خسارت برای ۴ قاب ستون پیوند تحت زلزله منفرد و متوالی



شکل ۲۴ میانگین نسبت شاخص خسارت در هر طبقه تحت توالی لرزه‌ای به لرزه اول برای ۴ قاب ستون پیوند



شکل ۲۵ میانگین نسبت حداکثر شاخص خسارت تحت توالی لرزه‌ای به منفرد در ۴ قاب ستون پیوند

۳ درصد بیشتر از حالت زلزله منفرد است.

۲. حداکثر نیروی برش پایه نیز در زلزله‌های متوالی افزایش یافته است؛ به‌طور میانگین در سازه‌های ۳ و ۶ طبقه، این نسبت بین ۱ تا ۲۶ درصد بیشتر از حالت زلزله منفرد بوده است.

۳. شاخص خسارت در زلزله‌های متوالی برای سازه‌های قاب ستون پیوند با رفتار تیرپیوند خمشی به‌طور میانگین تا ۳۸ درصد بیشتر از سازه‌ها با رفتار تیرپیوند برشی است، که نشان‌دهنده آسیب‌پذیری بیشتر سازه‌ها با عملکرد خمشی در برابر زلزله‌های متوالی است.

۴. قاب‌های ۳ طبقه در حالت لرزه منفرد و متوالی تفاوت کمتری در شاخص خسارت نشان داده‌اند. اما با افزایش تعداد طبقات، این تفاوت‌ها بیشتر می‌شود. در سازه‌های ۶

نتیجه‌گیری

در این مطالعه به منظور ارزیابی لرزه‌ای قاب‌های فولادی حاوی سیستم قاب-ستون-پیوند دوگانه در معرض زلزله‌های متوالی، چهار قاب فولادی مجهز به LCF حاوی تیرهای پیوند با رفتار برشی و خمشی طراحی و در نرم‌افزار اپنسیس پیاده‌سازی شده است. پس از انجام تحلیل‌های دینامیکی غیرخطی در دو حالت زلزله‌های با و بدون توالی لرزه‌ای، پارامترهایی نظیر جابه‌جایی‌های نسبی طبقات و بام، نیروی برش پایه و شاخص خسارت پارک-انگ استخراج شده است. مهم‌ترین نتایج حاصله در ذیل به صورت مختصر بیان شده است:

۱. زلزله‌های متوالی در بسیاری از مقادیر بدست‌آمده اثرات مخرب‌تری نسبت به زلزله‌های منفرد دارند. به‌طور میانگین، جابه‌جایی‌های نسبی طبقات در حالت زلزله‌های متوالی ۲ تا

۳. بررسی اندرکنش بین خاک و سازه برای قاب‌های ستون پیوندشده

۴. بررسی و مقایسه رفتار لرزه‌ای قاب‌ها در ترکیب با میراگرهای سازه‌ای تحت زمین لرزه‌های متوالی

فهرست علائم

R	ضریب رفتار
C ^d	ضریب بزرگنمایی
Ω_0	ضریب اضافه مقاومت
e	طول تیرپیوند
M _p	لنگر پلاستیک مقطع
V _p	برش پلاستیک مقطع
Z _p	اساس مقطع پلاستیک
F _y	تنش تسلیم
tf	ضخامت بال
tw	ضخامت جان
b	طول بال
d	عمق تیر
R ₀ , R ₁ , R ₂	پارامتر کنترل حالت الاستیک به پلاستیک
D	شاخص خسارت
δ_m	حداکثر تغییرشکل عضو
δ_u	ظرفیت نهایی تغییرشکل عضو
β	ضریب ثابت شاخص خسارت
$\int dE$	انرژی انباشته شده در عضو
Q _y	نیروی برش تسلیم

واژه نامه

پل سنفرانسیسکو اوکلند

San Francisco Oakland Bay Bridge

Dusicka and Lewis دوسیکا و لویس

Dusicka and Iwai دوسیکا و ایوای

Li et al. لی و همکاران

Montuori et al. مونتوری و همکاران

Park-ang پارک انگ

Etabs ایتبس

Opensees اپنسیس

طبقه، میزان جابه‌جایی نسبی و شاخص خسارت در زلزله‌های متوالی به‌طور میانگین ۲ تا ۴ درصد بیشتر از حالت زلزله منفرد است.

۵. در قاب ۶ طبقه برشی، میزان جابه‌جایی نسبی در طبقات پایین‌تر حدود ۳ درصد بیشتر از طبقات بالاتر است. همچنین، نیروی برش پایه در این قاب‌ها در حالت زلزله‌های متوالی به حدود ۱۷ درصد بیشتر از زلزله منفرد رسیده است.

۶. قاب‌ها با عملکرد خمشی در زلزله‌های متوالی نسبت به زلزله‌های منفرد، شاخص خسارت بالاتری را نشان داده‌اند. به‌طور خاص، شاخص خسارت در طبقات پایین‌تر قاب ۶ طبقه خمشی تا ۳۸ درصد بیشتر از حالت منفرد بوده است.

۷. مقادیر شاخص خسارت در اکثر سازه‌ها کمتر از ۴۰ درصد بوده و آسیب‌ها بیشتر در حدود کم تا متوسط بدست آمده‌اند. با تعویض تیرهای پیوند، سازه‌ها به حالت اولیه بازمی‌گردند، که نشان‌دهنده عملکرد مناسب قاب‌های ستون پیوندشده است. این سیستم با ساختار مدل خود و رفتار فداشونده تیرهای پیوند قابل تعویض، عملکرد لرزه‌ای خوبی دارد.

۸. در کل زلزله‌های متوالی به‌طور میانگین بین ۲ تا ۳۸ درصد اثرات مخرب‌تری نسبت به زلزله‌های منفرد بر سازه‌ها دارند. سازه ۶ طبقه با عملکرد خمشی بیشتر از سازه‌های دیگر تحت تأثیر زلزله‌های متوالی قرار می‌گیرند.

۹. سیستم قاب‌های ستون پیوند (LCF)، با توجه به نتایج بیان‌شده عملکرد لرزه‌ای مناسبی را از خود نشان داده است و از تخریب کامل سازه جلوگیری می‌کند. نیاز به بهبود استانداردهای لرزه‌ای برای مواجهه با زلزله‌های متوالی وجود دارد تا از آسیب‌های بیشتر و فروریزش سازه‌ها جلوگیری شود.

پیشنهادات

برای مطالعات آتی در بحث سیستم‌های قاب ستون پیوند، چند موضوع به صورت پیشنهاد بیان شده است:

۱. بررسی عملکرد سازه‌ها با وجود نامنظمی در ارتفاع برای تیرهای پیوند دو دهانه تحت توالی لرزه‌ای

۲. ارزیابی اثرات توالی لرزه‌ای بر پارامترهایی مانند انرژی و شاخص تاب‌آوری

Hysteresis	هیستریزیس	Fiber	فایبر
Inter-story Drift	جابجایی میان طبقاتی	Hysteretic	هیسترتیک
Livermore	لیورمور	Sumner and Murray	سامنر و مرای
		Liu and Astaneh-Asl	لیو و آستانه اصل
		Modal Analysis	آنالیز مودال
		Chalfant Valley3	چفلنت ولی ۳
		Northridge	نورتریج

سپاسگزاری

مراجع

- [1] F. Hosseinpour and A. E. Abdelnaby, "Effect of different aspects of multiple earthquakes on the nonlinear behavior of RC structures," *Soil Dynamics and Earthquake Engineering*, vol. 92, no. 1, pp. 706–725, 2017. <https://doi.org/10.1016/j.soildyn.2016.11.006>
- [2] A.H. Farivarad, H.E. Estekanchi, "Seismic Performance Assessment of SMRF Structures Subjected to Mainshock-Aftershock Seismic Sequences by Endurance Time Method," *Journal of Earthquake Engineering*, vol. 26, no. 7, pp. 3281-3299, 2022. <https://doi.org/10.1080/13632469.2020.1798828>
- [3] E.Rajabi , Gh. Ghodrati Amiri, "Generation of critical aftershocks using stochastic neural networks and wavelet packet transform," *Journal of Vibration and Control*, vol. 26, no. 5-6, pp. 331-351, 2019. <https://doi.org/10.1177/1077546319879536>
- [4] S. V. Baranov, P. N. Shebalin et al. "Automated assessment of hazards of aftershocks of the Mw 7.8 earthquake in Turkey of February 6, 2023," *Physics of the Solid Earth*, vol. 59, no. 6, pp. 133–141, 2023. <https://doi.org/10.1134/S1069351323060046>
- [5] S. D. Parekar, D. Datta, "Seismic behaviour of stiffness irregular steel frames under mainshock–aftershock," *Asian Journal of Civil Engineering*, vol. 21, no.1, pp. 857-870, 2020. <https://doi.org/10.1007/s42107-020-00245-z>
- [6] B. M. Asayesh, H. Zafarani, S. Hainzl, Sh. Sharma, "Effects of large aftershocks on spatial aftershock forecasts during the 2017–2019 western Iran sequence," *Geophysical Journal International*, vol. 232, no. 1, pp. 147-161, 2023. <https://doi.org/10.1093/gji/ggac333>
- [7] J. Tazarv, A. Mohebkah, "Direct displacement-based design of the linked column steel frame system, Part 2: Development and verification," *Structures*, vol. 31, no. 1, pp. 29-48, 2021. <https://doi.org/10.1016/j.istruc.2021.01.075>
- [8] S. Shoeibi, M. A. Kafi, M. Gholhaki, "Performance-Based Seismic Design and Parametric Assessment of Linked Column Frame System," *Periodica Polytechnica Civil Engineering*, vol. 62, no. 3, pp. 1092029-48, 2017. <https://doi.org/10.3311/PPci.10920>
- [9] A. Pires Lopes, "Seismic Behavior and Design of the Linked Column Steel Frame System for Rapid Return to Occupancy," Doctor of Philosophy (Ph.D.) thesis, Portland State University, 2016. <https://doi.org/10.15760/etd.3007>

- [10] P. Dusicka, R. Iwai, "Development of Linked Column Frame System for Seismic Lateral Loads," *Structural Engineering Research Frontiers*, 2007, pp. 1-13. [https://doi.org/10.1061/40944\(249\)63](https://doi.org/10.1061/40944(249)63)
- [11] P. Dusicka, G. R. Lewis, "Investigation of replaceable sacrificial steel links," *Proceedings of the 9th U.S. National and 10th Canadian Conference on Earthquake Engineering*, vol. 1659, 2010.
- [12] M. Malakoutian, J. W. Berman, P. Dusicka, "Seismic response evaluation of the linked column frame system," *Earthquake engineering & structural dynamics*, vol. 42, no. 1, pp. 795-814, 2012. <https://doi.org/10.1002/eqe.2245>
- [13] M. Malakoutian, J.W. Berman, P. Dusicka, A. Lopes, "Seismic Design Parameters for the Link Column Frame System," *Structures Congress*, vol. 42, no. 6, pp. 795-814, 2013. <https://doi.org/10.1061/9780784412848.150>
- [14] M. Malakoutian, J. W. Berman, P.R. Dusicka, A. Lopes, "Quantification of Linked Column Frame Seismic Performance Factors for Use in Seismic Design," *Journal of Earthquake Engineering*, vol. 20, no. 4, pp. 535-558, 2016. <https://doi.org/10.1080/13632469.2015.1104750>
- [15] S. Shoeibi, M. Ali Kafi, M. Gholhaki, "New performance-based seismic design method for structures with structural fuse system," *Engineering Structures*, vol. 132, pp. 745-760, 2017. <https://doi.org/10.1016/j.engstruct.2016.12.002>
- [16] S. Shoeibi, M. Gholhaki, M. Ali Kafi, "Simplified force-based seismic design procedure for linked column frame system," *Soil Dynamics and Earthquake Engineering*, vol. 121, no. 1, pp. 87-101, 2019. <https://doi.org/10.1016/j.soildyn.2019.03.003>
- [17] J. Tazarv, A. Mohebkah, "Direct displacement-based design of the linked column steel frame system, Part 2: Development and verification," *Structures*, vol. 31, no. 1, pp. 29-48, 2021. <https://doi.org/10.1016/j.istruc.2021.01.075>
- [18] J. Tazarv, A. Mohebkah, "Direct displacement-based design of the linked column steel frame System, Part 1: Modeling and yield drift evaluation," *Structures*, vol. 31, no. 1, pp. 341-356, 2021. <https://doi.org/10.1016/j.istruc.2021.01.076>
- [19] A. Mohebkah, J. Tazarv, "Equivalent viscous damping for linked column steel frame structures," *Journal of Constructional Steel Research*, vol. 179, p. 106506, 2021. <https://doi.org/10.1016/j.jcsr.2020.106506>
- [20] M. Gholhaki, B. Eshrafi, M. Gorji Azandariani, O. Rezaifar, "Seismic assessment of linked-column frame structural system considering soil-structure effects," *Structures*, vol. 33, pp. 2264-2272, 2021. <https://doi.org/10.1016/j.istruc.2021.06.005>
- [21] Y. Golestani, E. Rajabi, R. Rajabi Soheyli, "Evaluation of the response modification factor of steel buildings with linked columns frame system," *Soil Dynamics and Earthquake Engineering*, vol. 164, p. 107581, 2023. <https://doi.org/10.1016/j.soildyn.2022.107581>
- [22] E. Rajabi, Y. Golestani, "Study of steel buildings with LCF system under critical mainshock-aftershock sequence: Evaluation of fragility curves and estimation of the response modification factor by artificial intelligence," *Structures*, vol. 56, p. 105044, 2023. <https://doi.org/10.1016/j.istruc.2023.105044>
- [23] E. Maroofi, M. R. Mansoori, A. S. Moghadam, "Introducing a new seismic resisting system with dual linked column frame and rocking motion," *Structures*, vol. 47, pp. 2148-2161, 2023.

<https://doi.org/10.1016/j.istruc.2022.12.040>

- [24] V. Jaber, "Collapse-based design method for simple seismic design of complex structural systems such as linked column frame system," *Structures*, vol. 55, pp. 482-479, 2023. <https://doi.org/10.1016/j.istruc.2023.06.059>
- [25] F. Li, B. Cheng Zhao, Y. Li, G. Wang, "Seismic response of linked column steel braced frame with mechanical springs," *Structures*, vol. 53, pp. 240-252, 2023. <https://doi.org/10.1016/j.istruc.2023.04.044>
- [26] R. Montuori, E. Natri, V. Piluso, A. Pisapia, "Design procedure for failure mode control of linked column frames," *Engineering Structures*, vol. 296, p. 116937, 2023. <https://doi.org/10.1016/j.engstruct.2023.116937>
- [27] E. A. Sumner, T. M. Murray, "Behavior of Extended End-Plate Moment Connections Subject to Cyclic Loading," *Journal of Structural Engineering*, vol. 128, no. 4, pp. 501-508, 2002. [https://doi.org/10.1061/\(ASCE\)0733-9445\(2002\)128:4\(501\)](https://doi.org/10.1061/(ASCE)0733-9445(2002)128:4(501))
- [28] J. Liu, M. ASCE, A. Astaneh-Asl, M. ASCE, "Moment-Rotation Parameters for Composite Shear Tab Connections," *Journal of Structural Engineering*, vol. 130, no. 9, pp. 1371-1380, 2004. [https://doi.org/10.1061/\(ASCE\)0733-9445\(2004\)130:9\(1371\)](https://doi.org/10.1061/(ASCE)0733-9445(2004)130:9(1371))
- [29] G. G. Amiri, F. M. Dana, "Introduction of the most suitable parameter for selection of critical earthquake," *Computers & Structures*, vol. 83, no. 8-9, pp. 613-626, 2005. <https://doi.org/10.1016/j.compstruc.2004.10.010>
- [30] E. Rajabi, G. Ghodrati Amiri, "Generation of critical aftershocks using stochastic neural networks and wavelet packet transform," *Journal of vibration and control*, vol. 26, no. 5-6, pp. 331-351, 2020. <https://doi.org/10.1177/1077546319879536>
- [31] L. Wang, Y. Zhou, W. Shi, "Seismic Response Control of a Nonlinear Tall Building Under Mainshock-Aftershock Sequences Using Semi-Active Tuned Mass Damper," *International Journal of Structural Stability and Dynamics*, vol. 23, no. 16n18, p. 2340027, 2023. <https://doi.org/10.1142/S0219455423400278>
- [32] G. Abdollahzadeh, A. Mohammadgholipour, E. Omranian, "Seismic Evaluation of Steel Moment Frames under Mainshock-Aftershock Sequence Designed by Elastic Design and PBPD Methods," *Journal of Earthquake Engineering*, vol. 23, no. 10, pp. 1605-1628, 2019. <https://doi.org/10.1080/13632469.2017.1387198>
- [33] F. Turchetti, E. Tubaldi, E. Patelli, P. Castaldo, C. Málaga-Chuquitaype, "Damage modelling of a bridge pier subjected to multiple earthquakes: a comparative study," *Bulletin of Earthquake Engineering*, vol. 21, no. 9, pp. 4541-4564, 2023. <https://doi.org/10.1007/s10518-023-01678-y>
- [34] Y. J. Park, A. H. S. Ang et al., "Mechanistic seismic damage model for reinforced concrete," *Journal of Structural Engineering*, vol. 111, no. 4, pp. 722-739, 1985. [https://doi.org/10.1061/\(ASCE\)0733-9445\(1985\)111:4\(722\)](https://doi.org/10.1061/(ASCE)0733-9445(1985)111:4(722))